

Funcții de dispersie

Prof. Dr. Emeritus Adrian Atanasiu

Universitatea București

May 6, 2018

- 1 Definiții generale
- 2 Funcții de dispersie criptografică
 - Atacul nașterilor
- 3 Construcția Merkle - Damgard
- 4 Construcții de funcții de dispersie
- 5 Funcțiile de dispersie *MD*
 - *MD4*
 - *MD5*
 - *SHA-1*
- 6 *SHA-3*
 - Lansarea proiectului *SHA-3*
 - Prezentare *SHA-3*
 - Construcția *Sponge*
 - Securitate

Definiție

O funcție de dispersie (hash) este o funcție de compresie al cărei principal scop este asigurarea integrității unui mesaj.

Cu ajutorul ei se construiește o "amprentă" a mesajului, care – prin verificare periodică – certifică dacă acesta a fost modificat sau nu.

Nu se pune problema confidențialității mesajului, ci doar a integrității și autenticității sale.

Definiție

O clasă de dispersie este un quadruplu $(\mathcal{X}, \mathcal{Y}, \mathcal{K}, \mathcal{H})$ unde:

- *\mathcal{X} este mulțimea mesajelor posibile (criptate sau nu);*
- *\mathcal{Y} este o mulțime finită de "amprente" (sau "rezumate");*
- *\mathcal{K} este o mulțime finită de chei;*
- *Pentru fiecare cheie $K \in \mathcal{K}$ există o funcție de dispersie $h_K \in \mathcal{H}$,*

$$h_K : \mathcal{X} \longrightarrow \mathcal{Y}$$

Deși \mathcal{X} poate fi o mulțime oricât de mare – \mathcal{Y} este o mulțime finită. Vom avea totdeauna $\text{card}(\mathcal{X}) \geq \text{card}(\mathcal{Y})$.

Aproape toate aplicațiile vor solicita o condiție mai tare:

$$\text{card}(\mathcal{X}) \geq 2 \cdot \text{card}(\mathcal{Y}).$$

O pereche $(x, y) \in \mathcal{X} \times \mathcal{Y}$ este *validă pentru cheia* K dacă $h_K(x) = y$.

Deși \mathcal{X} poate fi o mulțime oricât de mare – \mathcal{Y} este o mulțime finită. Vom avea totdeauna $\text{card}(\mathcal{X}) \geq \text{card}(\mathcal{Y})$.

Aproape toate aplicațiile vor solicita o condiție mai tare:

$$\text{card}(\mathcal{X}) \geq 2 \cdot \text{card}(\mathcal{Y}).$$

O pereche $(x, y) \in \mathcal{X} \times \mathcal{Y}$ este *validă pentru cheia* K dacă $h_K(x) = y$.

Cazul cel mai simplu este când $\text{card}(\mathcal{K}) = 1$, deci există o singură cheie și o singură funcție de dispersie $h : \mathcal{X} \rightarrow \mathcal{Y}$.

Funcție criptografică

Vom considera o singură funcție de dispersie

$$h : \mathcal{X} \longrightarrow \mathcal{Y}$$

Din punct de vedere al securității (criptografice), unica modalitate de a obține o pereche validă $(x, y) \in \mathcal{X} \times \mathcal{Y}$ este de a alege x și apoi de a calcula $y = h(x)$.

Trebuie ca următoarele probleme să fie dificile.

- **NIP** (Preimage): Fiind dat $y \in \mathcal{Y}$ este dificil de aflat $x \in \mathcal{X}$ astfel ca $y = h(x)$.

Funcție criptografică

Vom considera o singură funcție de dispersie

$$h : \mathcal{X} \longrightarrow \mathcal{Y}$$

Din punct de vedere al securității (criptografice), unica modalitate de a obține o pereche validă $(x, y) \in \mathcal{X} \times \mathcal{Y}$ este de a alege x și apoi de a calcula $y = h(x)$.

Trebuie ca următoarele probleme să fie dificile.

- **NIP** (Preimage): Fiind dat $y \in \mathcal{Y}$ este dificil de aflat $x \in \mathcal{X}$ astfel ca $y = h(x)$.
- **CSP** (2nd Preimage): Fiind dată o pereche validă (x, y) , este dificil de aflat $x_1 \neq x$ cu $h(x_1) = h(x)$.

Funcție criptografică

Vom considera o singură funcție de dispersie

$$h : \mathcal{X} \longrightarrow \mathcal{Y}$$

Din punct de vedere al securității (criptografice), unica modalitate de a obține o pereche validă $(x, y) \in \mathcal{X} \times \mathcal{Y}$ este de a alege x și apoi de a calcula $y = h(x)$.

Trebuie ca următoarele probleme să fie dificile.

- **NIP** (**Preimage**): Fiind dat $y \in \mathcal{Y}$ este dificil de aflat $x \in \mathcal{X}$ astfel ca $y = h(x)$.
- **CSP** (**2nd Preimage**): Fiind dată o pereche validă (x, y) , este dificil de aflat $x_1 \neq x$ cu $h(x_1) = h(x)$.
- **CP** (**Collision**): Este dificil de aflat valorile distincte $x, x_1 \in \mathcal{X}$ astfel ca $h(x) = h(x_1)$.

Problema **CP** nu conduce direct la o pereche validă.

Dar, dacă (x, y) este o pereche validă și (x, x_1) este o coliziune, atunci (x_1, y) este de asemenea o pereche validă.

Problema **CP** nu conduce direct la o pereche validă.

Dar, dacă (x, y) este o pereche validă și (x, x_1) este o coliziune, atunci (x_1, y) este de asemenea o pereche validă.

Definiție

O funcție de dispersie

$$h : \mathcal{X} \longrightarrow \mathcal{Y}$$

*pentru care problema **CP** este dificilă se numește "rezistentă la coliziuni" .*

Evident, dacă o funcție este rezistentă la coliziuni, atunci ea va rezista și la 2nd Preimage (coliziuni slabe). Deci **CP** implică **CSP**.

Teoremă

Fie $h : \mathcal{X} \longrightarrow \mathcal{Y}$ o funcție de dispersie, unde \mathcal{X}, \mathcal{Y} sunt mulțimi finite,

$$N = \text{card}(\mathcal{X}), \quad M = \text{card}(\mathcal{Y}), \quad N \geq 2M$$

*Să presupunem că există un algoritm **A** de inversare a lui h .
Atunci va exista un algoritm probabilist LasVegas care găsește o coliziune pentru h cu probabilitate cel puțin $\frac{1}{2}$.*

Lemă

CP *implică* **NIP**.

Rezultă că este suficient ca o funcție de dispersie să fie cu coliziuni tari.

Definiție

O funcție de dispersie care verifică **CP** se numește
"funcție de dispersie criptografică".

Paradoxul nașterilor

Sub o formă simplificată:

Probabilitatea ca dintr-o mulțime aleatoare de 23 persoane să existe doi indivizi cu aceeași zi de naștere, este cel puțin $1/2$.

Din acesta rezultă – drept condiție de securitate pentru evitarea generării de coliziuni – o margine inferioară pentru $M = \text{card}(\mathcal{Y})$.

Atacul nașterilor

Este un atac prin forță brută care urmărește aflarea unor coliziuni.

În general, *Oscar* generează aleator mesajele $x_1, x_2, \dots \in \mathcal{X}$.

Pentru fiecare mesaj x_i calculează și stochează amprenta

$y_i = h(x_i)$, comparând-o cu valorile stocate anterior.

Dacă $h(x_i)$ coincide cu o valoare $h(x_j)$ deja stocată, *Oscar* a găsit o coliziune (x_i, x_j) .

Conform paradoxului nașterilor, aceasta se va întâmpla după aproximativ $2^{N/2}$ mesaje.

Atacul nașterilor

Este un atac prin forță brută care urmărește aflarea unor coliziuni.

În general, *Oscar* generează aleator mesajele $x_1, x_2, \dots \in \mathcal{X}$.

Pentru fiecare mesaj x_i calculează și stochează amprenta

$y_i = h(x_i)$, comparând-o cu valorile stocate anterior.

Dacă $h(x_i)$ coincide cu o valoare $h(x_j)$ deja stocată, *Oscar* a găsit o coliziune (x_i, x_j) .

Conform paradoxului nașterilor, aceasta se va întâmpla după aproximativ $2^{N/2}$ mesaje.

O amprentă de 40 biți este vulnerabilă la un atac al nașterilor folosind numai 2^{20} (aproximativ un milion) mesaje aleatoare.

Se sugerează folosirea de amprente de minim 256 biți (aici atacul nașterilor va cere 2^{128} calcule).

Semnături digitale

Sistemele de semnătură digitală se aplică amprentelor $h(x)$ ale mesajelor x .

Să presupunem că *Oscar* și *Bob* semnează un contract.

- 1 *Oscar* pregătește două versiuni ale contractului: o versiune m_1 echitabilă, și o versiune m_2 avantajoasă lui *Oscar* – ambele de dimensiune n .

Semnături digitale

Sistemele de semnătură digitală se aplică amprentelor $h(x)$ ale mesajelor x .

Să presupunem că *Oscar* și *Bob* semnează un contract.

- 1 *Oscar* pregătește două versiuni ale contractului: o versiune m_1 echitabilă, și o versiune m_2 avantajoasă lui *Oscar* – ambele de dimensiune n .
- 2 Apoi generează $\mathcal{O}(2^{n/2})$ variante minore ale celor două versiuni, până obține două mesaje m'_1 (similar lui m_1) și m'_2 (similar cu m_2) având $h(m'_1) = h(m'_2)$.

Semnături digitale

Sistemele de semnătură digitală se aplică amprentelor $h(x)$ ale mesajelor x .

Să presupunem că *Oscar* și *Bob* semnează un contract.

- 1 *Oscar* pregătește două versiuni ale contractului: o versiune m_1 echitabilă, și o versiune m_2 avantajoasă lui *Oscar* – ambele de dimensiune n .
- 2 Apoi generează $\mathcal{O}(2^{n/2})$ variante minore ale celor două versiuni, până obține două mesaje m'_1 (similar lui m_1) și m'_2 (similar cu m_2) având $h(m'_1) = h(m'_2)$.
- 3 Cei doi semnează $h(m'_1)$.

Ulterior *Oscar* poate pretinde că s-a semnat contractul m'_2 .

Exemplu

Parole One-time (S - Chei)

- Plecând de la o valoare inițială x_0 , se generează o secvență de amprente:

$$x_0 \xrightarrow{h(x_0)} x_1 \xrightarrow{h(x_1)} x_2 \cdots \xrightarrow{h(x_{n-1})} x_n$$

Exemplu

Parole One-time (S - Chei)

- Plecând de la o valoare inițială x_0 , se generează o secvență de amprente:

$$x_0 \xrightarrow{h(x_0)} x_1 \xrightarrow{h(x_1)} x_2 \cdots \xrightarrow{h(x_{n-1})} x_n$$

- Sistemul original stochează x_n , iar utilizatorul folosește x_{n-1} ca parolă.

Exemplu

Parole One-time (S - Chei)

- Plecând de la o valoare inițială x_0 , se generează o secvență de amprente:

$$x_0 \xrightarrow{h(x_0)} x_1 \xrightarrow{h(x_1)} x_2 \cdots \xrightarrow{h(x_{n-1})} x_n$$

- Sistemul original stochează x_n , iar utilizatorul folosește x_{n-1} ca parolă.
- Sistemul verifică $h(x_{n-1}) \stackrel{?}{=} x_n$.
Oscar nu poate afla x_{n-1} chiar dacă știe x_n , deoarece h este o funcție de dispersie criptografică.

Exemplu

Parole One-time (*S* - Chei)

- Plecând de la o valoare inițială x_0 , se generează o secvență de amprente:

$$x_0 \xrightarrow{h(x_0)} x_1 \xrightarrow{h(x_1)} x_2 \cdots \xrightarrow{h(x_{n-1})} x_n$$

- Sistemul original stochează x_n , iar utilizatorul folosește x_{n-1} ca parolă.
- Sistemul verifică $h(x_{n-1}) \stackrel{?}{=} x_n$.
Oscar nu poate afla x_{n-1} chiar dacă știe x_n , deoarece h este o funcție de dispersie criptografică.
- În continuare, sistemul stochează x_{n-1} , iar utilizatorul folosește ca parolă x_{n-2} .

Merkle - Damgard

Este o modalitate de construcție a unei funcții de dispersie, bazată pe compresie.

Permite extensia funcției de dispersie pe un domeniu infinit, păstrând proprietățile de securitate; deci se pot amprenta mesaje de lungime arbitrară.

Merkle - Damgard

Este o modalitate de construcție a unei funcții de dispersie, bazată pe compresie.

Permite extensia funcției de dispersie pe un domeniu infinit, păstrând proprietățile de securitate; deci se pot amprenta mesaje de lungime arbitrară.

Construcția Merkle - Damgard se referă la mesaje peste un alfabet binar $\mathbb{Z}_2 = \{0, 1\}$.

Fie $h : \mathbb{Z}_2^m \longrightarrow \mathbb{Z}_2^t$ o funcție criptografică de dispersie, cu $m \geq t + 1$.

Ea compresează blocuri de m biți în blocuri de t biți.

Scopul construcției este realizarea unei funcții de dispersie $h^* : \mathcal{X} \longrightarrow \mathbb{Z}_2^t$, unde

$$\mathcal{X} = \bigcup_{i=m}^{\infty} \mathbb{Z}_2^i$$

Cazul $m \geq t + 2$

Fiecare element al lui \mathcal{X} este reprezentat printr-un șir de biți.

Fie $|x| = n \geq m$; x se poate scrie

$$x = x_1 \| x_2 \| \dots \| x_k$$

unde $|x_1| = |x_2| = \dots = |x_{k-1}| = m - t - 1$,
 $|x_k| = m - t - 1 - d$, $0 \leq d \leq m - t - 2$.

Se obține $k = \left\lceil \frac{n}{m - t - 1} \right\rceil$.

Definim funcția $h^*(x)$ cu algoritmul următor:

- 1 **for** $i := 1$ **to** $k - 1$ **do** $y_i \leftarrow x_i$
- 2 $y_k \leftarrow x_k \parallel 0^d$
- 3 $y_{k+1} \leftarrow [d]_2$ (reprezentarea binară a lui d pe $m - t - 1$ biți).

Definim funcția $h^*(x)$ cu algoritmul următor:

- 1 **for** $i := 1$ **to** $k - 1$ **do** $y_i \leftarrow x_i$
- 2 $y_k \leftarrow x_k \| 0^d$
- 3 $y_{k+1} \leftarrow [d]_2$ (reprezentarea binară a lui d pe $m - t - 1$ biți).
- 4 $g_1 \leftarrow h(0^{t+1} \| y_1)$

Definim funcția $h^*(x)$ cu algoritmul următor:

- 1 **for** $i := 1$ **to** $k - 1$ **do** $y_i \leftarrow x_i$
- 2 $y_k \leftarrow x_k \| 0^d$
- 3 $y_{k+1} \leftarrow [d]_2$ (reprezentarea binară a lui d pe $m - t - 1$ biți).
- 4 $g_1 \leftarrow h(0^{t+1} \| y_1)$
- 5 **for** $i = 1$ **to** k **do**
 $g_{i+1} \leftarrow h(g_i \| 1 \| y_{i+1})$
- 6 $h^*(x) \leftarrow g_{k+1}$

Teoremă

Fie $h : \mathbb{Z}_2^m \longrightarrow \mathbb{Z}_2^t$ ($m \geq t + 2$) o funcție de dispersie criptografică.

Funcția

$$h^* : \bigcup_{i=m}^{\infty} \mathbb{Z}_2^i \longrightarrow \mathbb{Z}_2^t$$

definită prin algoritmul anterior este de asemenea o funcție criptografică.

Cazul $m = t + 1$

Algoritmul pe care s-a bazat demonstrația de sus este adevărat numai dacă $m \geq t + 2$.

Pentru $m = t + 1$ se va realiza o construcție diferită pentru h^* .

Cazul $m = t + 1$

Algoritmul pe care s-a bazat demonstrația de sus este adevărat numai dacă $m \geq t + 2$.

Pentru $m = t + 1$ se va realiza o construcție diferită pentru h^* .

Vom începe prin a codifica x folosind funcția f definită

$$f(0) = 0, \quad f(1) = 01.$$

Cazul $m = t + 1$

Algoritmul pe care s-a bazat demonstrația de sus este adevărat numai dacă $m \geq t + 2$.

Pentru $m = t + 1$ se va realiza o construcție diferită pentru h^* .

Vom începe prin a codifica x folosind funcția f definită

$$f(0) = 0, \quad f(1) = 01.$$

Construcția lui h^* se face pe baza următorului algoritm:

$$\mathbf{1} \quad y \leftarrow y_1 \| \dots \| y_k = 11 \| f(x_1) \| f(x_2) \| \dots \| f(x_n) \quad (y_i \in \mathbb{Z}_2)$$

Cazul $m = t + 1$

Algoritmul pe care s-a bazat demonstrația de sus este adevărat numai dacă $m \geq t + 2$.

Pentru $m = t + 1$ se va realiza o construcție diferită pentru h^* .

Vom începe prin a codifica x folosind funcția f definită

$$f(0) = 0, \quad f(1) = 01.$$

Construcția lui h^* se face pe baza următorului algoritm:

- 1 $y \leftarrow y_1 \| \dots \| y_k = 11 \| f(x_1) \| f(x_2) \| \dots \| f(x_n) \quad (y_i \in \mathbb{Z}_2)$
- 2 $g_1 \leftarrow h(0^t \| y_1)$

Cazul $m = t + 1$

Algoritmul pe care s-a bazat demonstrația de sus este adevărat numai dacă $m \geq t + 2$.

Pentru $m = t + 1$ se va realiza o construcție diferită pentru h^* . Vom începe prin a codifica x folosind funcția f definită

$$f(0) = 0, \quad f(1) = 01.$$

Construcția lui h^* se face pe baza următorului algoritm:

- 1 $y \leftarrow y_1 \| \dots \| y_k = 11 \| f(x_1) \| f(x_2) \| \dots \| f(x_n) \quad (y_i \in \mathbb{Z}_2)$
- 2 $g_1 \leftarrow h(0^t \| y_1)$
- 3 **for** $i = 1$ **to** $k - 1$ **do** $g_{i+1} \leftarrow h(g_i \| y_{i+1})$
- 4 $h^*(x) \leftarrow g_k$

Teoremă

Fie $h : \mathbb{Z}_2^{t+1} \rightarrow \mathbb{Z}_2^t$ o funcție de dispersie criptografică.

Funcția $h^* : \bigcup_{i=t+1}^{\infty} \mathbb{Z}_2^i \rightarrow \mathbb{Z}_2^t$ este de asemenea o funcție criptografică.

Teoremă

Fie $h : \mathbb{Z}_2^{t+1} \rightarrow \mathbb{Z}_2^t$ o funcție de dispersie criptografică.

Funcția $h^* : \bigcup_{i=t+1}^{\infty} \mathbb{Z}_2^i \rightarrow \mathbb{Z}_2^t$ este de asemenea o funcție criptografică.

Teoremă

Fie $h : \mathbb{Z}_2^m \rightarrow \mathbb{Z}_2^t, (m \geq t + 1)$ o funcție de dispersie criptografică.
Există o funcție de dispersie criptografică

$$h^* : \bigcup_{i=m}^{\infty} \mathbb{Z}_2^i \rightarrow \mathbb{Z}_2^t.$$

Dispersii bazate pe sisteme de criptare

Fie $(\mathcal{P}, \mathcal{C}, \mathcal{K}, \mathcal{E}, \mathcal{D})$ este un sistem de criptare simetric, cu $\mathcal{P} = \mathcal{C} = \mathcal{K} = \mathbb{Z}_2^n$.

Pentru a evita atacul nașterilor, $n \geq 128$.

Dispersii bazate pe sisteme de criptare

Fie $(\mathcal{P}, \mathcal{C}, \mathcal{K}, \mathcal{E}, \mathcal{D})$ este un sistem de criptare simetric, cu $\mathcal{P} = \mathcal{C} = \mathcal{K} = \mathbb{Z}_2^n$.

Pentru a evita atacul nașterilor, $n \geq 128$.

Fie șirul de biți

$$x = x_1 \| x_2 \| \dots \| x_k, \quad x_i \in \mathbb{Z}_2^n \quad 1 \leq i \leq k.$$

Ideea construcției constă în fixarea unei *valori inițiale* g_0 și calcularea iterativă a lui g_1, \dots, g_k astfel ca $g_i = f(x_i, g_{i-1})$, unde f este o funcție care utilizează regulile de criptare.

Dispersii bazate pe sisteme de criptare

Fie $(\mathcal{P}, \mathcal{C}, \mathcal{K}, \mathcal{E}, \mathcal{D})$ este un sistem de criptare simetric, cu $\mathcal{P} = \mathcal{C} = \mathcal{K} = \mathbb{Z}_2^n$.

Pentru a evita atacul nașterilor, $n \geq 128$.

Fie șirul de biți

$$x = x_1 \| x_2 \| \dots \| x_k, \quad x_i \in \mathbb{Z}_2^n \quad 1 \leq i \leq k.$$

Ideea construcției constă în fixarea unei *valori inițiale* g_0 și calcularea iterativă a lui g_1, \dots, g_k astfel ca $g_i = f(x_i, g_{i-1})$, unde f este o funcție care utilizează regulile de criptare.

Rezultatul final al dispersiei este amprenta $h(x) = g_k$.

Au fost propuse mai multe funcții de dispersie, o parte din ele fiind sparte (independent de sistemul de criptare utilizat).

$$g_i = e_{g_{i-1}}(x_i) \oplus x_i \text{ (Mathyas - Meyer - Oseas)}$$

$$g_i = e_{g_{i-1}}(x_i) \oplus g_{i-1} \text{ (Davies - Meyer)}$$

$$g_i = e_{g_{i-1}}(x_i) \oplus x_i \oplus g_{i-1} \text{ (Miyaguchi - Preneel)}$$

$$g_i = e_{g_{i-1}}(x_i \oplus g_{i-1}) \oplus x_i$$

$$g_i = e_{g_{i-1}}(x_i \oplus g_{i-1}) \oplus x_i \oplus g_{i-1}$$

Funcția Matyas - Meyer - Oseas

Este inclusă în standardul *ISO/IEC 10118 – 2*.

Funcția Matyas - Meyer - Oseas

Este inclusă în standardul *ISO/IEC 10118 – 2*.

- 1 Blocul $z \in \mathcal{X}$ de lungime $2n$ este spart în două jumătăți:
 $z = x || y$.

Funcția Matyas - Meyer - Oseas

Este inclusă în standardul *ISO/IEC 10118 – 2*.

- 1 Blocul $z \in \mathcal{X}$ de lungime $2n$ este spart în două jumătăți:
 $z = x \| y$.
- 2 Se determină cheia K folosind o funcție $g : \mathbb{Z}_2^n \longrightarrow \mathbb{Z}_2^k$ (uzual $K = g(y)$ se obține din y cu ajutorul unei funcții booleene).

Funcția Matyas - Meyer - Oseas

Este inclusă în standardul *ISO/IEC 10118 – 2*.

- 1 Blocul $z \in \mathcal{X}$ de lungime $2n$ este spart în două jumătăți:
 $z = x || y$.
- 2 Se determină cheia K folosind o funcție $g : \mathbb{Z}_2^n \rightarrow \mathbb{Z}_2^k$ (uzual $K = g(y)$ se obține din y cu ajutorul unei funcții booleene).
- 3 Amprenta lui z este

$$h(z) = e_K(x) \oplus x$$

Securitatea este în strânsă dependență cu securitatea oferită de sistemul de criptare folosit.

MD4

Funcțiile **MDi** (Message Digest nr. *i*) au fost construite de Ron Rivest.

În particular, *MD4* a fost introdusă în 1990 pentru procesoare pe 32 biți.

Deși nu s-a dovedit suficient de sigură, principiile sale de construcție au fost ulterior utilizate pentru o clasă largă de funcții de dispersie, cum ar fi *MD5*, *SHA*, *SHA1*, *RIPEMD160*.

MD4

Funcțiile **MDi** (Message Digest nr. i) au fost construite de Ron Rivest.

În particular, *MD4* a fost introdusă în 1990 pentru procesoare pe 32 biți.

Deși nu s-a dovedit suficient de sigură, principiile sale de construcție au fost ulterior utilizate pentru o clasă largă de funcții de dispersie, cum ar fi *MD5*, *SHA*, *SHA1*, *RIPEMD160*.

Cu toate că securitatea lor nu a fost demonstrată, funcțiile de dispersie **MDi** au avantajul de a fi foarte rapide, deci practice pentru semnarea de mesaje lungi.

Descrierea funcției MD4

Fiind dat un șir $x \in \mathbb{Z}_2^*$, se definește tabloul $M = M_0 M_1 \dots M_{n-1}$ cu fiecare "cuvânt" M_i de lungime 32 și $n \equiv 0 \pmod{16}$.

Descrierea funcției MD4

Fiind dat un șir $x \in \mathbb{Z}_2^*$, se definește tabloul $M = M_0 M_1 \dots M_{n-1}$ cu fiecare "cuvânt" M_i de lungime 32 și $n \equiv 0 \pmod{16}$.

M este construit folosind algoritmul următor:

- 1 $d \leftarrow (447 - |x|) \pmod{512}$
- 2 $s \leftarrow$ reprezentarea binară a lui $|x| \pmod{2^{64}}$, $|s| = 64$.

Descrierea funcției MD4

Fiind dat un șir $x \in \mathbb{Z}_2^*$, se definește tabloul $M = M_0 M_1 \dots M_{n-1}$ cu fiecare "cuvânt" M_i de lungime 32 și $n \equiv 0 \pmod{16}$.

M este construit folosind algoritmul următor:

- 1 $d \leftarrow (447 - |x|) \pmod{512}$
- 2 $s \leftarrow$ reprezentarea binară a lui $|x| \pmod{2^{64}}$, $|s| = 64$.
- 3 $M = x || 1 || 0^d || s$

MD4 construiește o amprentă a lui x pe 128 biți.

MD4 construiește o amprentă a lui x pe 128 biți.

$$1. \ A \leftarrow (67452301)_{16}, \ B \leftarrow (efcdab89)_{16}, \\ \quad C \leftarrow (98badcfe)_{16}, \ D \leftarrow (10325476)_{16}.$$

MD4

MD4 construiește o amprentă a lui x pe 128 biți.

1. $A \leftarrow (67452301)_{16}$, $B \leftarrow (efcdab89)_{16}$,
 $C \leftarrow (98badcfe)_{16}$, $D \leftarrow (10325476)_{16}$.
2. **for** $i = 0$ **to** $n/16 - 1$ **do**
 - 2.1. **for** $j = 0$ **to** 15 **do** $X_j \leftarrow M_{16i+j}$

MD4

MD4 construiește o amprentă a lui x pe 128 biți.

1. $A \leftarrow (67452301)_{16}$, $B \leftarrow (efcdab89)_{16}$,
 $C \leftarrow (98badcfe)_{16}$, $D \leftarrow (10325476)_{16}$.
2. **for** $i = 0$ **to** $n/16 - 1$ **do**
 - 2.1. **for** $j = 0$ **to** 15 **do** $X_j \leftarrow M_{16i+j}$
 - 2.1.1. $AA \leftarrow A$, $BB \leftarrow B$, $CC \leftarrow C$, $DD \leftarrow D$.

MD4 construiește o amprentă a lui x pe 128 biți.

1. $A \leftarrow (67452301)_{16}$, $B \leftarrow (efcdab89)_{16}$,
 $C \leftarrow (98badcfe)_{16}$, $D \leftarrow (10325476)_{16}$.
2. **for** $i = 0$ **to** $n/16 - 1$ **do**
 - 2.1. **for** $j = 0$ **to** 15 **do** $X_j \leftarrow M_{16i+j}$
 - 2.1.1. $AA \leftarrow A$, $BB \leftarrow B$, $CC \leftarrow C$, $DD \leftarrow D$.
 - 2.1.2. **Etapă 1**
 - 2.1.3. **Etapă 2**
 - 2.1.4. **Etapă 3**

MD4 construiește o amprentă a lui x pe 128 biți.

1. $A \leftarrow (67452301)_{16}$, $B \leftarrow (efcdab89)_{16}$,
 $C \leftarrow (98badcfe)_{16}$, $D \leftarrow (10325476)_{16}$.
2. **for** $i = 0$ **to** $n/16 - 1$ **do**
 - 2.1. **for** $j = 0$ **to** 15 **do** $X_j \leftarrow M_{16i+j}$
 - 2.1.1. $AA \leftarrow A$, $BB \leftarrow B$, $CC \leftarrow C$, $DD \leftarrow D$.
 - 2.1.2. **Etapa 1**
 - 2.1.3. **Etapa 2**
 - 2.1.4. **Etapa 3**
 - 2.1.5. $A \leftarrow A + AA$, $B \leftarrow B + BB$,
 $C \leftarrow C + CC$, $D \leftarrow D + DD$

Amprenta $h(x)$ este concatenarea celor patru cuvinte A, B, C, D .

MD4 construiește o amprentă a lui x pe 128 biți.

1. $A \leftarrow (67452301)_{16}$, $B \leftarrow (efcdab89)_{16}$,
 $C \leftarrow (98badcfe)_{16}$, $D \leftarrow (10325476)_{16}$.
2. **for** $i = 0$ **to** $n/16 - 1$ **do**
 - 2.1. **for** $j = 0$ **to** 15 **do** $X_j \leftarrow M_{16i+j}$
 - 2.1.1. $AA \leftarrow A$, $BB \leftarrow B$, $CC \leftarrow C$, $DD \leftarrow D$.
 - 2.1.2. **Etapa 1**
 - 2.1.3. **Etapa 2**
 - 2.1.4. **Etapa 3**
 - 2.1.5. $A \leftarrow A + AA$, $B \leftarrow B + BB$,
 $C \leftarrow C + CC$, $D \leftarrow D + DD$

Amprenta $h(x)$ este concatenarea celor patru cuvinte A, B, C, D .

Tabelul M este împărțit în secvențe de câte 16 cuvinte, cărora li se aplică trei runde de transformări.

Construcția standard a lui *MD4* folosește o arhitectură *little-endian*.

La o implementare *big-endian*, adunările se definesc astfel:

1 Se inter-schimbă

$$x_1 \leftrightarrow x_4, \quad x_2 \leftrightarrow x_3, \quad y_1 \leftrightarrow y_4, \quad y_2 \leftrightarrow y_3$$

Construcția standard a lui *MD4* folosește o arhitectură *little-endian*.

La o implementare *big-endian*, adunările se definesc astfel:

- 1 Se inter-schimbă

$$x_1 \leftrightarrow x_4, x_2 \leftrightarrow x_3, y_1 \leftrightarrow y_4, y_2 \leftrightarrow y_3$$

- 2 Se calculează $Z = X + Y \pmod{2^{32}}$

Construcția standard a lui *MD4* folosește o arhitectură *little-endian*.

La o implementare *big-endian*, adunările se definesc astfel:

1 Se inter-schimbă

$$x_1 \leftrightarrow x_4, x_2 \leftrightarrow x_3, y_1 \leftrightarrow y_4, y_2 \leftrightarrow y_3$$

2 Se calculează $Z = X + Y \pmod{2^{32}}$

3 Se inter-schimbă $z_1 \leftrightarrow z_4, z_2 \leftrightarrow z_3$

Construcția standard a lui *MD4* folosește o arhitectură *little-endian*.

La o implementare *big-endian*, adunările se definesc astfel:

1 Se inter-schimbă

$$x_1 \leftrightarrow x_4, x_2 \leftrightarrow x_3, y_1 \leftrightarrow y_4, y_2 \leftrightarrow y_3$$

2 Se calculează $Z = X + Y \pmod{2^{32}}$

3 Se inter-schimbă $z_1 \leftrightarrow z_4, z_2 \leftrightarrow z_3$

Cele trei etape de construcție pentru *MD4* folosesc trei funcții

$$f, g, h : \mathbb{Z}_2^{32} \times \mathbb{Z}_2^{32} \times \mathbb{Z}_2^{32} \longrightarrow \mathbb{Z}_2^{32}$$

$$f(X, Y, Z) = (X \wedge Y) \vee ((\neg X) \wedge Z)$$

$$g(X, Y, Z) = (X \wedge Y) \vee (X \wedge Z) \vee (Y \wedge Z)$$

$$s(X, Y, Z) = X \oplus Y \oplus Z$$

și constantele $P = 5a827999$, $Q = 6ed9eba1$.

Etapă 1:

1. $A \leftarrow (A + f(B, C, D) + X_0) \lll 3$
2. $D \leftarrow (D + f(A, B, C) + X_1) \lll 7$
3. $C \leftarrow (C + f(D, A, B) + X_2) \lll 11$
4. $B \leftarrow (B + f(C, D, A) + X_3) \lll 19$
5. $A \leftarrow (A + f(B, C, D) + X_4) \lll 3$
6. $D \leftarrow (D + f(A, B, C) + X_5) \lll 7$
7. $C \leftarrow (C + f(D, A, B) + X_6) \lll 11$
8. $B \leftarrow (B + f(C, D, A) + X_7) \lll 19$
9. $A \leftarrow (A + f(B, C, D) + X_8) \lll 3$
10. $D \leftarrow (D + f(A, B, C) + X_9) \lll 7$
11. $C \leftarrow (C + f(D, A, B) + X_{10}) \lll 11$
12. $B \leftarrow (B + f(C, D, A) + X_{11}) \lll 19$
13. $A \leftarrow (A + f(B, C, D) + X_{12}) \lll 3$
14. $D \leftarrow (D + f(A, B, C) + X_{13}) \lll 7$
15. $C \leftarrow (C + f(D, A, B) + X_{14}) \lll 11$
16. $B \leftarrow (B + f(C, D, A) + X_{15}) \lll 19$

Etapă 2:

1. $A \leftarrow (A + g(B, C, D) + X_0 + P) \lll 3$
2. $D \leftarrow (D + g(A, B, C) + X_4 + P) \lll 5$
3. $C \leftarrow (C + g(D, A, B) + X_8 + P) \lll 9$
4. $B \leftarrow (B + g(C, D, A) + X_{12} + P) \lll 13$
5. $A \leftarrow (A + g(B, C, D) + X_1 + P) \lll 3$
6. $D \leftarrow (D + g(A, B, C) + X_5 + P) \lll 5$
7. $C \leftarrow (C + g(D, A, B) + X_9 + P) \lll 9$
8. $B \leftarrow (B + g(C, D, A) + X_{13} + P) \lll 13$
9. $A \leftarrow (A + g(B, C, D) + X_2 + P) \lll 3$
10. $D \leftarrow (D + g(A, B, C) + X_6 + P) \lll 5$
11. $C \leftarrow (C + g(D, A, B) + X_{10} + P) \lll 9$
12. $B \leftarrow (B + g(C, D, A) + X_{14} + P) \lll 13$
13. $A \leftarrow (A + g(B, C, D) + X_3 + P) \lll 3$
14. $D \leftarrow (D + g(A, B, C) + X_7 + P) \lll 5$
15. $C \leftarrow (C + g(D, A, B) + X_{11} + P) \lll 9$
16. $B \leftarrow (B + g(C, D, A) + X_{15} + P) \lll 13$

Etapă 3:

1. $A \leftarrow (A + s(B, C, D) + X_0 + Q) \lll 3$
2. $D \leftarrow (D + s(A, B, C) + X_8 + Q) \lll 9$
3. $C \leftarrow (C + s(D, A, B) + X_4 + Q) \lll 11$
4. $B \leftarrow (B + s(C, D, A) + X_{12} + Q) \lll 15$
5. $A \leftarrow (A + s(B, C, D) + X_2 + Q) \lll 3$
6. $D \leftarrow (D + s(A, B, C) + X_{10} + Q) \lll 9$
7. $C \leftarrow (C + s(D, A, B) + X_6 + Q) \lll 11$
8. $B \leftarrow (B + s(C, D, A) + X_{14} + Q) \lll 15$
9. $A \leftarrow (A + s(B, C, D) + X_1 + Q) \lll 3$
10. $D \leftarrow (D + s(A, B, C) + X_9 + Q) \lll 9$
11. $C \leftarrow (C + s(D, A, B) + X_5 + Q) \lll 11$
12. $B \leftarrow (B + s(C, D, A) + X_{13} + Q) \lll 15$
13. $A \leftarrow (A + s(B, C, D) + X_3 + Q) \lll 3$
14. $D \leftarrow (D + s(A, B, C) + X_{11} + Q) \lll 9$
15. $C \leftarrow (C + s(D, A, B) + X_7 + Q) \lll 11$
16. $B \leftarrow (B + s(C, D, A) + X_{15} + Q) \lll 15$

Criptanaliza schemei MD4

Etapele funcției MD4 sunt caracterizate de permutări σ_i ale blocului $X = (X_0, \dots, X_{15})$ și deplasări ciclice spre stânga $\alpha_{i,j}$, ($i = 1, 2, 3$, $j = 1, 2, \dots, 16$).

Criptanaliza schemei MD4

Etaplele funcției MD4 sunt caracterizate de permutări σ_i ale blocului $X = (X_0, \dots, X_{15})$ și deplasări ciclice spre stânga $\alpha_{i,j}$, ($i = 1, 2, 3$, $j = 1, 2, \dots, 16$).

Cele trei permutări – corespunzătoare celor 3 etape – sunt

$$\sigma_1 = \begin{pmatrix} 0 & 1 & 2 & 3 & 4 & 5 & 6 & 7 & 8 & 9 & 10 & 11 & 12 & 13 & 14 & 15 \\ 0 & 1 & 2 & 3 & 4 & 5 & 6 & 7 & 8 & 9 & 10 & 11 & 12 & 13 & 14 & 15 \end{pmatrix}$$

$$\sigma_2 = \begin{pmatrix} 0 & 1 & 2 & 3 & 4 & 5 & 6 & 7 & 8 & 9 & 10 & 11 & 12 & 13 & 14 & 15 \\ 0 & 4 & 8 & 12 & 1 & 5 & 9 & 13 & 2 & 6 & 10 & 14 & 3 & 7 & 11 & 15 \end{pmatrix}$$

$$\sigma_3 = \begin{pmatrix} 0 & 1 & 2 & 3 & 4 & 5 & 6 & 7 & 8 & 9 & 10 & 11 & 12 & 13 & 14 & 15 \\ 0 & 8 & 4 & 12 & 2 & 10 & 6 & 14 & 1 & 9 & 5 & 13 & 3 & 11 & 7 & 15 \end{pmatrix}$$

Deplasările ciclice spre stânga $\alpha_{i,j}$ sunt

$i/j \pmod{4}$	0	1	2	3
1	3	7	11	19
2	3	5	9	13
3	3	9	11	15

De exemplu, $\alpha_{3,6} = 11$.

Deplasările ciclice spre stânga $\alpha_{i,j}$ sunt

$i/j \pmod{4}$	0	1	2	3
1	3	7	11	19
2	3	5	9	13
3	3	9	11	15

De exemplu, $\alpha_{3,6} = 11$.

Proprietăți ale funcțiile f și g :

- $f(\mathbf{1}, a, x) = f(\mathbf{0}, x, a) = f(x, a, a) = a, \forall a, x \in \mathbb{Z}_2^{32},$
 $\mathbf{0} = 00 \dots 0, \mathbf{1} = 11 \dots 1;$
- $g(a, a, x) = g(a, x, a) = g(x, a, a) = a, \forall a, x \in \mathbb{Z}_2^{32};$

În prima etapă σ_1 este permutarea identică, iar X_i sunt utilizate în ordinea inițială.

Deci, dacă X_0, \dots, X_{11} sunt fixate, se pot alege ușor valori pentru X_{12}, X_{13}, X_{14} astfel ca să se obțină 0 în regiștrii A , C și D .

În prima etapă σ_1 este permutarea identică, iar X_i sunt utilizate în ordinea inițială.

Deci, dacă X_0, \dots, X_{11} sunt fixate, se pot alege ușor valori pentru X_{12}, X_{13}, X_{14} astfel ca să se obțină 0 în regiștrii A, C și D .

Permutarea σ_2 din Etapa 2 asociază pe rând registrului B valorile din $X_{12}, X_{13}, X_{14}, X_{15}$.

Deci, dacă celelalte valori sunt $-P$, iar X_{12}, X_{13}, X_{14} sunt alese astfel ca să fie îndeplinită proprietatea anterioară, regiștrii A, C, D rămân cu valoarea **0**.

În prima etapă σ_1 este permutarea identică, iar X_i sunt utilizate în ordinea inițială.

Deci, dacă X_0, \dots, X_{11} sunt fixate, se pot alege ușor valori pentru X_{12}, X_{13}, X_{14} astfel ca să se obțină 0 în regiștrii A, C și D .

Permutarea σ_2 din Etapa 2 asociază pe rând registrului B valorile din $X_{12}, X_{13}, X_{14}, X_{15}$.

Deci, dacă celelalte valori sunt $-P$, iar X_{12}, X_{13}, X_{14} sunt alese astfel ca să fie îndeplinită proprietatea anterioară, regiștrii A, C, D rămân cu valoarea **0**.

Această proprietate are loc pentru orice valoare a lui X_{15} .

Atacul:

Atacul ignoră Etapa 3 și consideră ieșirea din Etapa 2 ca o funcție (aleatoare) de variabilă X_{15} , în care trei regiștri sunt permanent **0**.

Deci dimensiunea aleatoare este redusă la 32 biți; rezultă că un atac bazat pe paradoxul nașterilor poate deduce o coliziune în aproximativ 2^{16} încercări.

Atac asupra lui MD4 redus la primele două etape:

Intrare: A, B, C, D ;

1 for $i = 0, 1, 2, 4, 5, 6, 8, 9, 10, 12, 13$ **do**

$$X_{\sigma_2^{-1}(i)} \leftarrow -P$$

2 $Random(X_{11})$

3 for $i = 0$ **to** 11 **do**

$$(A, D, B, C) \leftarrow (D, C, B, (A + f(B, C, D) + X_i) \ll \alpha_{1,i})$$

4 for $i = 12$ **to** 14 **do**

$$4.1. X_i \leftarrow -(A + f(B, C, D))$$

$$4.2. (A, D, C, B) \leftarrow (D, C, B, 0)$$

5 $B_0 \leftarrow A$

6 if $u(X_{15}) = u(X'_{15})$ **then**

$$X'_i = X_i \quad (0 \leq i \leq 14)$$

$Output(X, X')$; $Exit$

Function $u(X_{15})$:

- 1 $A \leftarrow \mathbf{0}, \quad C \leftarrow \mathbf{0}, \quad D \leftarrow \mathbf{0};$
- 2 $B \leftarrow ((B_0 + X_{15} + P) \ll \alpha_{1,15});$
- 3 **for** $i = 0$ **to** 15 **do**
 $(A, D, C, B) \leftarrow (D, C, B, (A + g(B, C, D) + X_{\sigma_2(i)} + P) \ll \alpha_{2,i})$
- 4 *Return*(B).

După atacul pentru primele două etape, permutarea σ_3 asociază pe X_{15} (singura valoare modificată) doar registrului B .

După atacul pentru primele două etape, permutarea σ_3 asociază pe X_{15} (singura valoare modificată) doar registrului B .

Deci două blocuri de câte 128 biți X și X' ($X_i = X'_i$ pentru $i = 0, \dots, 14$, $X_{15} \neq X'_{15}$) care dau o coliziune după primele două etape, au proprietatea că $h(X)$ și $h(X')$ diferă doar pe al doilea bloc de 32 biți.

MD4

După atacul pentru primele două etape, permutarea σ_3 asociază pe X_{15} (singura valoare modificată) doar registrului B .

Deci două blocuri de câte 128 biți X și X' ($X_i = X'_i$ pentru $i = 0, \dots, 14$, $X_{15} \neq X'_{15}$) care dau o coliziune după primele două etape, au proprietatea că $h(X)$ și $h(X')$ diferă doar pe al doilea bloc de 32 biți.

Se pot obține ușor îmbunătățiri în care cele două amprente să difere doar într-un singur bit din zona respectivă.

Pe baza acestui atac Hans Dobbertin construiește un algoritm care generează toate coliziunile din MD4.

Funcția de dispersie *MD5*

Pentru a elimina slăbiciunile lui *MD4*, în 1991 Ron Rivest lansează varianta *MD5*, publicată în 1992 sub numele *RFC 1321 Internet Standard*.

Funcția de dispersie *MD5*

Pentru a elimina slăbiciunile lui *MD4*, în 1991 Ron Rivest lansează varianta *MD5*, publicată în 1992 sub numele *RFC 1321 Internet Standard*.

MD5 se bazează pe o funcție de "criptare" g propusă de Davies - Meyer: dacă aceasta este

$$g : \mathbb{Z}_2^{128} \times \mathbb{Z}_2^{512} \longrightarrow \mathbb{Z}_2^{128}$$

atunci

$$h(H, X) = H + g(H, X)$$

unde adunarea este realizată modulo 2^{32} .

Criptarea $g(H, X)$ constă din 4 runde și poate fi descrisă pe scurt:

- 1 Mesajul H de 128 biți este aranjat printr-o permutare (care depinde de rundă) într-o secvență de cuvinte A, B, C, D ;

Criptarea $g(H, X)$ constă din 4 runde și poate fi descrisă pe scurt:

- 1 Mesajul H de 128 biți este aranjat printr-o permutare (care depinde de rundă) într-o secvență de cuvinte A, B, C, D ;
- 2 Fiecare cuvânt trece printr-o transformare secvențială, bazată pe o schemă Feistel;

Criptarea $g(H, X)$ constă din 4 runde și poate fi descrisă pe scurt:

- 1 Mesajul H de 128 biți este aranjat printr-o permutare (care depinde de rundă) într-o secvență de cuvinte A, B, C, D ;
- 2 Fiecare cuvânt trece printr-o transformare secvențială, bazată pe o schemă Feistel;
- 3 O transformare este definită de un S - box cu intrarea (A, K) (K – cheie de rundă derivată din X) și ieșirea B, C, D ;

Criptarea $g(H, X)$ constă din 4 runde și poate fi descrisă pe scurt:

- 1 Mesajul H de 128 biți este aranjat printr-o permutare (care depinde de rundă) într-o secvență de cuvinte A, B, C, D ;
- 2 Fiecare cuvânt trece printr-o transformare secvențială, bazată pe o schemă Feistel;
- 3 O transformare este definită de un S - box cu intrarea (A, K) (K – cheie de rundă derivată din X) și ieșirea B, C, D ;
- 4 Ieșirea din S box este

$$(A + f_i(B, C, D) + K + k_{i,j} + B) \ll \alpha_{i,j}$$

unde $\alpha_{i,j}$ și $k_{i,j}$ sunt definite printr-o tabelă, iar f_i este o funcție booleană de rundă, definită

$$\begin{aligned} f_1(B, C, D) &= (B \wedge C) \vee ((\neg B) \wedge D), & f_3(B, C, D) &= B \oplus C \oplus D, \\ f_2(B, C, D) &= (D \wedge B) \vee ((\neg D) \wedge C), & f_4(B, C, D) &= C \oplus (B \wedge (\neg D)) \end{aligned}$$

Și această funcție de dispersie – utilizată mai ales în aplicații Internet – a fost spartă destul de repede.

Mai mult, în 2006 V. Klima publică un algoritm care calculează – în mai puțin de un minut – coliziuni pentru *MD5*, folosind un PC standard.

Funcția de dispersie SHA-1

SHA-1 este o variantă a funcției de dispersie *SHA* – notată ca standard *FIPS* 180 – 1 – care corectează o mică slăbiciune din *SHA*.

Funcția de dispersie SHA-1

SHA-1 este o variantă a funcției de dispersie *SHA* – notată ca standard *FIPS* 180 – 1 – care corectează o mică slăbiciune din *SHA*.

Construcția sa este următoarea:

Fie x ($|x| \leq 2^{64} - 1$) șirul binar care trebuie amprentat.

Funcția de dispersie SHA-1

SHA-1 este o variantă a funcției de dispersie *SHA* – notată ca standard *FIPS 180 – 1* – care corectează o mică slăbiciune din *SHA*.

Construcția sa este următoarea:

Fie x ($|x| \leq 2^{64} - 1$) șirul binar care trebuie amprentat.

Prima parte a algoritmului este identică cu cea de la *MD4*:

- 1 $d \leftarrow (447 - |x|) \pmod{512}$
- 2 $s \leftarrow$ reprezentarea binară a lui $|x| \pmod{2^{64}}$, $|s| = 64$
- 3 $M = x || 1 || 0^d || s$

SHA-1

Dacă $|s| < 64$, se adaugă zerouri la stânga.

SHA-1

Dacă $|s| < 64$, se adaugă zerouri la stânga.

M are o lungime divizibilă cu 512; se sparge în blocuri de 512 biți:

$$M = M_1 \| M_2 \| \dots \| M_n$$

Dacă $|s| < 64$, se adaugă zerouri la stânga.

M are o lungime divizibilă cu 512; se sparge în blocuri de 512 biți:

$$M = M_1 \| M_2 \| \dots \| M_n$$

Se definesc funcțiile

$$f_i : \mathbb{Z}_2^{32} \times \mathbb{Z}_2^{32} \times \mathbb{Z}_2^{32} \longrightarrow \mathbb{Z}_2^{32} \quad (0 \leq i \leq 79)$$

$$f_t(B, C, D) = \begin{cases} (B \wedge C) \vee ((\neg B) \wedge D) & 0 \leq t \leq 19 \\ B \oplus C \oplus D & 20 \leq t \leq 39 \\ (B \wedge C) \vee (B \wedge D) \vee (C \wedge D) & 40 \leq t \leq 59 \\ B \oplus C \oplus D & 60 \leq t \leq 79 \end{cases}$$

SHA-1

Dacă $|s| < 64$, se adaugă zerouri la stânga.

M are o lungime divizibilă cu 512; se sparge în blocuri de 512 biți:

$$M = M_1 \| M_2 \| \dots \| M_n$$

Se definesc funcțiile

$$f_i : \mathbb{Z}_2^{32} \times \mathbb{Z}_2^{32} \times \mathbb{Z}_2^{32} \longrightarrow \mathbb{Z}_2^{32} \quad (0 \leq i \leq 79)$$

$$f_t(B, C, D) = \begin{cases} (B \wedge C) \vee ((\neg B) \wedge D) & 0 \leq t \leq 19 \\ B \oplus C \oplus D & 20 \leq t \leq 39 \\ (B \wedge C) \vee (B \wedge D) \vee (C \wedge D) & 40 \leq t \leq 59 \\ B \oplus C \oplus D & 60 \leq t \leq 79 \end{cases}$$

și constantele K_0, K_1, \dots, K_{79} :

$$K_t = \begin{cases} (5ab27999)_{16} & 0 \leq t \leq 19 \\ (6ed9eba1)_{16} & 20 \leq t \leq 39 \\ (8f1bbcdc)_{16} & 40 \leq t \leq 59 \\ (ca62c1d6)_{16} & 60 \leq t \leq 79 \end{cases}$$

Algoritmul SHA-1

$$\boxed{1} \quad H_0 \leftarrow (67452301)_{16}, \quad H_1 \leftarrow (efcdab89)_{16}, \quad H_2 \leftarrow (98badcfe)_{16}, \\ H_3 \leftarrow (10325476)_{16}, \quad H_4 \leftarrow (c3d2e1f0)_{16}.$$

Algoritmul SHA-1

- 1 $H_0 \leftarrow (67452301)_{16}, H_1 \leftarrow (efcdab89)_{16}, H_2 \leftarrow (98badcfe)_{16},$
 $H_3 \leftarrow (10325476)_{16}, H_4 \leftarrow (c3d2e1f0)_{16}.$
- 2 **for** $i \leftarrow 1$ **to** n **do**
 - 1 Fie $M_i = W_0 \parallel W_1 \parallel \dots \parallel W_{15}, \quad W_i \in \mathbb{Z}_2^{32}.$

Algoritmul SHA-1

- 1 $H_0 \leftarrow (67452301)_{16}, H_1 \leftarrow (efcdab89)_{16}, H_2 \leftarrow (98badcfe)_{16},$
 $H_3 \leftarrow (10325476)_{16}, H_4 \leftarrow (c3d2e1f0)_{16}.$
- 2 **for** $i \leftarrow 1$ **to** n **do**
 - 1 Fie $M_i = W_0 \| W_1 \| \dots \| W_{15}, \quad W_i \in \mathbb{Z}_2^{32}.$
 - 2 **for** $t \leftarrow 16$ **to** 79 **do**
 $W_t \leftarrow (W_{t-3} \oplus W_{t-8} \oplus W_{t-14} \oplus W_{t-16} \ll 1)$

Algoritmul SHA-1

- 1 $H_0 \leftarrow (67452301)_{16}, H_1 \leftarrow (efcdab89)_{16}, H_2 \leftarrow (98badcfe)_{16},$
 $H_3 \leftarrow (10325476)_{16}, H_4 \leftarrow (c3d2e1f0)_{16}.$
- 2 **for** $i \leftarrow 1$ **to** n **do**
 - 1 Fie $M_i = W_0 \| W_1 \| \dots \| W_{15}, \quad W_i \in \mathbb{Z}_2^{32}.$
 - 2 **for** $t \leftarrow 16$ **to** 79 **do**
 $W_t \leftarrow (W_{t-3} \oplus W_{t-8} \oplus W_{t-14} \oplus W_{t-16} \ll 1)$
 - 3 $A \leftarrow H_0, B \leftarrow H_1, C \leftarrow H_2, D \leftarrow H_3, E \leftarrow H_4.$

Algoritmul SHA-1

- 1 $H_0 \leftarrow (67452301)_{16}, H_1 \leftarrow (efcdab89)_{16}, H_2 \leftarrow (98badcfe)_{16}, H_3 \leftarrow (10325476)_{16}, H_4 \leftarrow (c3d2e1f0)_{16}.$
- 2 **for** $i \leftarrow 1$ **to** n **do**
 - 1 Fie $M_i = W_0 \| W_1 \| \dots \| W_{15}, \quad W_i \in \mathbb{Z}_2^{32}.$
 - 2 **for** $t \leftarrow 16$ **to** 79 **do**
 $W_t \leftarrow (W_{t-3} \oplus W_{t-8} \oplus W_{t-14} \oplus W_{t-16} \ll 1)$
 - 3 $A \leftarrow H_0, B \leftarrow H_1, C \leftarrow H_2, D \leftarrow H_3, E \leftarrow H_4.$
 - 4 **for** $t \leftarrow 0$ **to** 79 **do**
 - 1 $temp \leftarrow (A \ll 5) + f_t(B, C, D) + E + W_t + K_t$

Algoritmul SHA-1

- 1 $H_0 \leftarrow (67452301)_{16}, H_1 \leftarrow (efcdab89)_{16}, H_2 \leftarrow (98badcfe)_{16},$
 $H_3 \leftarrow (10325476)_{16}, H_4 \leftarrow (c3d2e1f0)_{16}.$
- 2 **for** $i \leftarrow 1$ **to** n **do**
 - 1 Fie $M_i = W_0 \| W_1 \| \dots \| W_{15}, \quad W_i \in \mathbb{Z}_2^{32}.$
 - 2 **for** $t \leftarrow 16$ **to** 79 **do**
 $W_t \leftarrow (W_{t-3} \oplus W_{t-8} \oplus W_{t-14} \oplus W_{t-16} \ll 1)$
 - 3 $A \leftarrow H_0, B \leftarrow H_1, C \leftarrow H_2, D \leftarrow H_3, E \leftarrow H_4.$
 - 4 **for** $t \leftarrow 0$ **to** 79 **do**
 - 1 $temp \leftarrow (A \ll 5) + f_t(B, C, D) + E + W_t + K_t$
 - 2 $E \leftarrow D, D \leftarrow C, C \leftarrow (B \ll 30), B \leftarrow A$

Algoritmul SHA-1

- 1 $H_0 \leftarrow (67452301)_{16}, H_1 \leftarrow (efcdab89)_{16}, H_2 \leftarrow (98badcfe)_{16},$
 $H_3 \leftarrow (10325476)_{16}, H_4 \leftarrow (c3d2e1f0)_{16}.$
- 2 **for** $i \leftarrow 1$ **to** n **do**
 - 1 Fie $M_i = W_0 \| W_1 \| \dots \| W_{15}, \quad W_i \in \mathbb{Z}_2^{32}.$
 - 2 **for** $t \leftarrow 16$ **to** 79 **do**
 $W_t \leftarrow (W_{t-3} \oplus W_{t-8} \oplus W_{t-14} \oplus W_{t-16} \lll 1)$
 - 3 $A \leftarrow H_0, B \leftarrow H_1, C \leftarrow H_2, D \leftarrow H_3, E \leftarrow H_4.$
 - 4 **for** $t \leftarrow 0$ **to** 79 **do**
 - 1 $temp \leftarrow (A \lll 5) + f_t(B, C, D) + E + W_t + K_t$
 - 2 $E \leftarrow D, D \leftarrow C, C \leftarrow (B \lll 30), B \leftarrow A$
 - 3 $A \leftarrow temp.$

Algoritmul SHA-1

- 1 $H_0 \leftarrow (67452301)_{16}, H_1 \leftarrow (efcdab89)_{16}, H_2 \leftarrow (98badcfe)_{16},$
 $H_3 \leftarrow (10325476)_{16}, H_4 \leftarrow (c3d2e1f0)_{16}.$
- 2 **for** $i \leftarrow 1$ **to** n **do**
 - 1 Fie $M_i = W_0 \| W_1 \| \dots \| W_{15}, \quad W_i \in \mathbb{Z}_2^{32}.$
 - 2 **for** $t \leftarrow 16$ **to** 79 **do**
 $W_t \leftarrow (W_{t-3} \oplus W_{t-8} \oplus W_{t-14} \oplus W_{t-16} \ll 1)$
 - 3 $A \leftarrow H_0, B \leftarrow H_1, C \leftarrow H_2, D \leftarrow H_3, E \leftarrow H_4.$
 - 4 **for** $t \leftarrow 0$ **to** 79 **do**
 - 1 $temp \leftarrow (A \ll 5) + f_t(B, C, D) + E + W_t + K_t$
 - 2 $E \leftarrow D, D \leftarrow C, C \leftarrow (B \ll 30), B \leftarrow A$
 - 3 $A \leftarrow temp.$
 - 5 $H_0 \leftarrow H_0 + A, H_1 \leftarrow H_1 + B, H_2 \leftarrow H_2 + C,$
 $H_3 \leftarrow H_3 + D, H_4 \leftarrow H_4 + E.$

Algoritmul SHA-1

- 1 $H_0 \leftarrow (67452301)_{16}, H_1 \leftarrow (efcdab89)_{16}, H_2 \leftarrow (98badcfe)_{16}, H_3 \leftarrow (10325476)_{16}, H_4 \leftarrow (c3d2e1f0)_{16}.$
- 2 **for** $i \leftarrow 1$ **to** n **do**
 - 1 Fie $M_i = W_0 \| W_1 \| \dots \| W_{15}, \quad W_i \in \mathbb{Z}_2^{32}.$
 - 2 **for** $t \leftarrow 16$ **to** 79 **do**
 $W_t \leftarrow (W_{t-3} \oplus W_{t-8} \oplus W_{t-14} \oplus W_{t-16} \lll 1)$
 - 3 $A \leftarrow H_0, B \leftarrow H_1, C \leftarrow H_2, D \leftarrow H_3, E \leftarrow H_4.$
 - 4 **for** $t \leftarrow 0$ **to** 79 **do**
 - 1 $temp \leftarrow (A \lll 5) + f_t(B, C, D) + E + W_t + K_t$
 - 2 $E \leftarrow D, D \leftarrow C, C \leftarrow (B \lll 30), B \leftarrow A$
 - 3 $A \leftarrow temp.$
 - 5 $H_0 \leftarrow H_0 + A, H_1 \leftarrow H_1 + B, H_2 \leftarrow H_2 + C, H_3 \leftarrow H_3 + D, H_4 \leftarrow H_4 + E.$
- 3 **Output:** $y = H_0 \| H_1 \| H_2 \| H_3 \| H_4.$

Diferența dintre SHA și SHA-1: în SHA transformarea de la pasul (2.b) se realizează fără nici o rotație (ceea ce permitea la SHA aflarea coliziunilor în aproximativ 2^{61} pași).

SHA-1

Diferența dintre SHA și SHA-1: în SHA transformarea de la pasul (2.b) se realizează fără nici o rotație (ceea ce permitea la SHA aflarea coliziunilor în aproximativ 2^{61} pași).

Versiunea SHA-1 este mai eficientă, atacul nașterilor conducând la aflarea coliziunilor după 2^{80} pași.

Diferența dintre SHA și SHA-1: în SHA transformarea de la pasul (2.b) se realizează fără nici o rotație (ceea ce permitea la SHA aflarea coliziunilor în aproximativ 2^{61} pași).

Versiunea SHA-1 este mai eficientă, atacul nașterilor conducând la aflarea coliziunilor după 2^{80} pași.

Dar și pentru această funcție de dispersie s-au publicat coliziuni începând cu 2005, când o echipă de la Universitatea Shandong afirmă că a găsit coliziuni pentru SHA-1 în 2^{69} operații (iar pentru o variantă SHA-1 de 58 runde, în numai 2^{33} operații) .

SHA-1

Diferența dintre SHA și SHA-1: în SHA transformarea de la pasul (2.b) se realizează fără nici o rotație (ceea ce permitea la SHA aflarea coliziunilor în aproximativ 2^{61} pași).

Versiunea SHA-1 este mai eficientă, atacul nașterilor conducând la aflarea coliziunilor după 2^{80} pași.

Dar și pentru această funcție de dispersie s-au publicat coliziuni începând cu 2005, când o echipă de la Universitatea Shandong afirmă că a găsit coliziuni pentru SHA-1 în 2^{69} operații (iar pentru o variantă SHA-1 de 58 runde, în numai 2^{33} operații) .

La 30 mai 2001 *NIST* propune versiunea SHA-2; aceasta include SHA-1 combinat cu alte funcții de dispersie: SHA-256, SHA-384, SHA-512 (indicii se referă la mărimea amprenteii).

Limitele funcțiilor de dispersie SHA-1 și SHA-2

Ambele au la bază același concept pentru procesarea textelor:
Merkle-Damgard.

Deci orice atac reușit asupra lui SHA-1 devine o falie de securitate
pentru SHA-2.

Limitele funcțiilor de dispersie SHA-1 și SHA-2

Ambele au la bază același concept pentru procesarea textelor: Merkle-Damgard.

Deci orice atac reușit asupra lui SHA-1 devine o falie de securitate pentru SHA-2.

SHA-2 este considerată încă o funcție de dispersie criptografică sigură: singurele atacuri reușite care se cunosc sunt asupra lui SHA-2 cu un număr redus de runde: 46-runde (variante de 512 biți) și 41 runde (variante de 256 biți).

Cerințe NIST

În 2006 NIST a anunțat competiția pentru standardul SHA-3.

Cerințe NIST

În 2006 NIST a anunțat competiția pentru standardul SHA-3.

Dintre cerințele eliminatorii impuse de NIST:

- Performanțele să aceleași indiferent de implementare.

Cerințe NIST

În 2006 NIST a anunțat competiția pentru standardul SHA-3.

Dintre cerințele eliminatorii impuse de NIST:

- Performanțele să aceleași indiferent de implementare.
- Resursa consumată trebuie să fie minimă chiar pentru o cantitate mare de text la intrare.

Cerințe NIST

În 2006 NIST a anunțat competiția pentru standardul SHA-3.
Dintre cerințele eliminatorii impuse de NIST:

- Performanțele să aceleași indiferent de implementare.
- Resursa consumată trebuie să fie minimă chiar pentru o cantitate mare de text la intrare.
- Performanțele de securitate trebuie să nu fie inferioare funcțiilor actuale de dispersie.

Cerințe NIST

În 2006 NIST a anunțat competiția pentru standardul SHA-3.

Dintre cerințele eliminatorii impuse de NIST:

- Performanțele să aceleași indiferent de implementare.
- Resursa consumată trebuie să fie minimă chiar pentru o cantitate mare de text la intrare.
- Performanțele de securitate trebuie să nu fie inferioare funcțiilor actuale de dispersie.
- Să scoată aceleași marimi de amprente ca SHA-2, dar să fie capabilă – la nevoie – de amprente de mărimi mai mari.

Cerințe NIST

În 2006 NIST a anunțat competiția pentru standardul SHA-3.

Dintre cerințele eliminatorii impuse de NIST:

- Performanțele să aceleași indiferent de implementare.
- Resursa consumată trebuie să fie minimă chiar pentru o cantitate mare de text la intrare.
- Performanțele de securitate trebuie să nu fie inferioare funcțiilor actuale de dispersie.
- Să scoată aceleași marimi de amprente ca SHA-2, dar să fie capabilă – la nevoie – de amprente de mărimi mai mari.
- Să reziste discuțiilor privind criptanaliza, atât codul sursă cât și rezultatele analizelor trebuind să fie publice.

Cerințe NIST

În 2006 NIST a anunțat competiția pentru standardul SHA-3.

Dintre cerințele eliminatorii impuse de NIST:

- Performanțele să aceleași indiferent de implementare.
- Resursa consumată trebuie să fie minimă chiar pentru o cantitate mare de text la intrare.
- Performanțele de securitate trebuie să nu fie inferioare funcțiilor actuale de dispersie.
- Să scoată aceleași marimi de amprente ca SHA-2, dar să fie capabilă – la nevoie – de amprente de mărimi mai mari.
- Să reziste discuțiilor privind criptanaliza, atât codul sursă cât și rezultatele analizelor trebuind să fie publice.
- Nu trebuie să se bazeze pe metoda Merkle-Damgard în generarea amprente finale.

- La competiția SHA-3 s-a înscris pentru prima fază – încheiată la sfârșitul lui 2008 – 51 candidați.

- La competiția SHA-3 s-a înscris pentru prima fază – încheiată la sfârșitul lui 2008 – 51 candidați.
- În iulie 2009 s-au calificat pentru al doilea rund 14 algoritmi: BLAKE, Blue Midnight Wish, CubeHash, ECHO, Fugue, Grostl, Hamsi, JH, Keccak, Luffa, Shabal, SHAvite-3, SIMD, Skein.

- La competiția SHA-3 s-a înscris pentru prima fază – încheiată la sfârșitul lui 2008 – 51 candidați.
- În iulie 2009 s-au calificat pentru al doilea rund 14 algoritmi: BLAKE, Blue Midnight Wish, CubeHash, ECHO, Fugue, Grostl, Hamsi, JH, Keccak, Luffa, Shabal, SHAvite-3, SIMD, Skein.
- În decembrie 2010 trec în faza a treia (finală) 5 algoritmi: BLAKE (Jean-Phillipe Aumasson), Grostl (Lars R. Knudsen), JH (Hongjun Wu), Keccak și Skein (Bruce Schneier).

- La competiția SHA-3 s-a înscris pentru prima fază – încheiată la sfârșitul lui 2008 – 51 candidați.
- În iulie 2009 s-au calificat pentru al doilea rund 14 algoritmi: BLAKE, Blue Midnight Wish, CubeHash, ECHO, Fugue, Grostl, Hamsi, JH, Keccak, Luffa, Shabal, SHAvite-3, SIMD, Skein.
- În decembrie 2010 trec în faza a treia (finală) 5 algoritmi: BLAKE (Jean-Phillipe Aumasson), Grostl (Lars R. Knudsen), JH (Hongjun Wu), Keccak și Skein (Bruce Schneier).
- În decembrie 2012 este declarat câștigător algoritmul Keccak.

Pemutări KECCAK-p

O permutare KECCAK-p este definită prin doi parametri:

- 1 Lungimea (fixată) a șirurilor care se permută, numită "adâncimea permutării".
- 2 Numărul n de iterații (*runde*) ale unei transformări interne.

Pemutări KECCAK-p

O permutare KECCAK-p este definită prin doi parametri:

- 1 Lungimea (fixată) a șirurilor care se permută, numită "adâncimea permutării".
- 2 Numărul n de iterații (*runde*) ale unei transformări interne.

Se notează cu $KECCAK - p[b, nr]$ o permutare KECCAK-p cu nr runde și adâncime b ; ea este definită pentru orice întreg pozitiv nr și $b \in \{25, 50, 100, 200, 400, 800, 1600\}$.

Stare

O rundă Rnd a unei permutări KECCAK-p este formată din cinci transformări secvențiale sau pași (step mappings). Permutarea este specificată printr-o stare.

Stare

O rundă Rnd a unei permutări KECCAK- p este formată din cinci transformări secvențiale sau **pași** (**step mappings**). Permutarea este specificată printr-o **stare**.

Starea unei permutări KECCAK – $p[b, nr]$ este un tabel de b biți, la care se asociază alte două valori: $w = b/25$ și $l = \log_2(b/25)$.

Cele trei variabile pot lua șapte valori din tabelul:

b	25	50	100	200	400	800	1600
w	1	2	4	8	16	32	64
l	0	1	2	3	4	5	6

Reprezentări

Starile sunt tablouri de biți de dimensiune $5 \times 5 \times w$.

Reprezentări

Starile sunt tablouri de biți de dimensiune $5 \times 5 \times w$.

Componentele pe axele Ox , Oy sunt numerotate 3-4-0-1-2.

În acest fel, linia de w biți corespunzătoare coordonatelor $(0, 0, z)$ este o axă centrală a paralelipipedului.

Reprezentări

Starile sunt tablouri de biți de dimensiune $5 \times 5 \times w$.

Componentele pe axe O_x, O_y sunt numerotate 3-4-0-1-2.

În acest fel, linia de w biți corespunzătoare coordonatelor $(0, 0, z)$ este o axă centrală a paralelipipedului.

- Dacă S este o secvență care reprezintă starea, atunci biții săi vor fi indexați sub forma

$$S = S[0] || S[1] || \dots || S[b-2] || S[b-1].$$

Reprezentări

Starile sunt tablouri de biți de dimensiune $5 \times 5 \times w$.

Componentele pe axe O_x , O_y sunt numerotate 3-4-0-1-2.

În acest fel, linia de w biți corespunzătoare coordonatelor $(0, 0, z)$ este o axă centrală a paralelipipedului.

- Dacă S este o secvență care reprezintă starea, atunci biții săi vor fi indexați sub forma

$$S = S[0] || S[1] || \dots || S[b-2] || S[b-1].$$

- Dacă \mathbf{A} este un tablou $5 \times 5 \times w$ de biți care reprezintă starea, atunci indicii sunt triplete (x, y, z) , $0 \leq x < 5$, $0 \leq y < 5$, $0 \leq z < w$.
Bitul de coordonate (x, y, z) va fi notat $\mathbf{A}[x, y, z]$.

Conversii

- *Conversia șirurilor în tablouri de stare:*

$$A[x, y, z] = S[w(5y + x) + z].$$

Conversii

- *Conversia șirurilor în tablouri de stare:*

$$A[x, y, z] = S[w(5y + x) + z].$$

- *Conversia tablourilor de stare în șiruri:*

Pentru fiecare pereche $(i, j) \in [0, 5) \times [0, 5)$, definim $Lane(i, j)$ prin

$$Lane(i, j) = A[i, j, 0] || A[i, j, 1] || A[i, j, 2] || \dots || A[i, j, w - 2] || A[i, j, w - 1].$$

Conversii

- *Conversia șirurilor în tablouri de stare:*

$$A[x, y, z] = S[w(5y + x) + z].$$

- *Conversia tablourilor de stare în șiruri:*

Pentru fiecare pereche $(i, j) \in [0, 5) \times [0, 5)$, definim $Lane(i, j)$ prin

$$Lane(i, j) = A[i, j, 0] || A[i, j, 1] || A[i, j, 2] || \dots || A[i, j, w - 2] || A[i, j, w - 1].$$

Pentru fiecare întreg $j \in [0, 5)$ definim $Plane(j)$ prin

$$Plane(j) = Lane(0, j) || Lane(1, j) || Lane(2, j) || Lane(3, j) || Lane(4, j).$$

Conversii

- *Conversia șirurilor în tablouri de stare:*

$$A[x, y, z] = S[w(5y + x) + z].$$

- *Conversia tablourilor de stare în șiruri:*

Pentru fiecare pereche $(i, j) \in [0, 5) \times [0, 5)$, definim $Lane(i, j)$ prin

$$Lane(i, j) = A[i, j, 0] || A[i, j, 1] || A[i, j, 2] || \dots || A[i, j, w - 2] || A[i, j, w - 1].$$

Pentru fiecare întreg $j \in [0, 5)$ definim $Plane(j)$ prin

$$Plane(j) = Lane(0, j) || Lane(1, j) || Lane(2, j) || Lane(3, j) || Lane(4, j).$$

Atunci

$$S = Plane(0) || Plane(1) || Plane(2) || Plane(3) || Plane(4).$$

Transformări

Cele cinci transformări care compun o rundă din KECCAK-p[b, nr] sunt notate $\theta, \rho, \pi, \chi, \iota$.

Fiecare transformare modifică un tablou de stare A într-un tablou A' de aceeași dimensiuni.

Transformări

Cele cinci transformări care compun o rundă din KECCAK-p[b, nr] sunt notate $\theta, \rho, \pi, \chi, \iota$.

Fiecare transformare modifică un tablou de stare A într-un tablou A' de aceeași dimensiuni.

ι are un parametru suplimentar de intrare – *indexul de rundă* i_r .

Celelalte transformări nu depind de indexul de rundă.

Transformarea θ :

$\theta(A) = A'$ unde:

$$1 \quad \forall (x, z) \in [0, 5) \times [0, w)$$

$$C[x, z] = A[x, 0, z] \otimes A[x, 1, z] \otimes A[x, 2, z] \otimes A[x, 3, z] \otimes A[x, 4, z].$$

Transformarea θ :

$\theta(A) = A'$ unde:

1 $\forall (x, z) \in [0, 5) \times [0, w)$

$$C[x, z] = A[x, 0, z] \otimes A[x, 1, z] \otimes A[x, 2, z] \otimes A[x, 3, z] \otimes A[x, 4, z].$$

2 $\forall (x, z) \in [0, 5) \times [0, w)$

$$D[x, z] = C[((x - 1)) \bmod 5, z] \otimes C[(x + 1) \bmod 5, (z - 1) \bmod w].$$

Transformarea θ :

$\theta(A) = A'$ unde:

$$1 \quad \forall (x, z) \in [0, 5) \times [0, w)$$

$$C[x, z] = A[x, 0, z] \otimes A[x, 1, z] \otimes A[x, 2, z] \otimes A[x, 3, z] \otimes A[x, 4, z].$$

$$2 \quad \forall (x, z) \in [0, 5) \times [0, w)$$

$$D[x, z] = C[((x - 1)) \bmod 5, z] \otimes C[(x + 1) \bmod 5, (z - 1) \bmod w].$$

$$3 \quad \forall (x, y, z) \in [0, 5) \times [0, 5) \times [0, w)$$

$$A[x, y, z] = A[x, y, z] \otimes D[x, z].$$

Transformarea θ :

$\theta(A) = A'$ unde:

1 $\forall (x, z) \in [0, 5) \times [0, w)$

$$C[x, z] = A[x, 0, z] \otimes A[x, 1, z] \otimes A[x, 2, z] \otimes A[x, 3, z] \otimes A[x, 4, z].$$

2 $\forall (x, z) \in [0, 5) \times [0, w)$

$$D[x, z] = C[((x - 1)) \bmod 5, z] \otimes C[(x + 1) \bmod 5, (z - 1) \bmod w].$$

3 $\forall (x, y, z) \in [0, 5) \times [0, 5) \times [0, w)$

$$A[x, y, z] = A[x, y, z] \otimes D[x, z].$$

θ xor-ează fiecare bit de stare cu paritățile a două coloane din stare.

Transformarea θ :

$\theta(A) = A'$ unde:

$$1 \quad \forall (x, z) \in [0, 5) \times [0, w)$$

$$C[x, z] = A[x, 0, z] \otimes A[x, 1, z] \otimes A[x, 2, z] \otimes A[x, 3, z] \otimes A[x, 4, z].$$

$$2 \quad \forall (x, z) \in [0, 5) \times [0, w)$$

$$D[x, z] = C[((x - 1)) \bmod 5, z] \otimes C[(x + 1) \bmod 5, (z - 1) \bmod w].$$

$$3 \quad \forall (x, y, z) \in [0, 5) \times [0, 5) \times [0, w)$$

$$A[x, y, z] = A[x, y, z] \otimes D[x, z].$$

θ xor-ează fiecare bit de stare cu paritățile a două coloane din stare.

EX: Pentru bitul $A[x_0, y_0, z_0]$, a x -coordonată a unei coloane este $(x_0 - 1) \bmod 5$ cu aceeași z -coordonată z_0 , în timp ce x -coordonata celeilalte coloane este $(x_0 + 1) \bmod 5$, cu z -coordonata $(z_0 - 1) \bmod w$.

Transformarea ρ :

$\rho(A) = A'$ unde:

- 1 $\forall z \in [0, w), A'[0, 0, z] = A[0, 0, z].$
- 2 $(x, y) = (1, 0).$

Transformarea ρ :

$\rho(A) = A'$ unde:

1 $\forall z \in [0, w), A'[0, 0, z] = A[0, 0, z].$

2 $(x, y) = (1, 0).$

3 **for** $t = 0, 23$ **do**

1 $\forall z \in [0, w), A'[x, y, z] = A[x, y, (z(t+1)(t+2)/2) \bmod w];$

Transformarea ρ :

$\rho(A) = A'$ unde:

1 $\forall z \in [0, w), A'[0, 0, z] = A[0, 0, z].$

2 $(x, y) = (1, 0).$

3 **for** $t = 0, 23$ **do**

1 $\forall z \in [0, w), A'[x, y, z] = A[x, y, (z(t+1)(t+2)/2) \bmod w];$

2 $(x, y) = (y, (2x + 3y) \bmod 5).$

Transformarea ρ :

$\rho(A) = A'$ unde:

1 $\forall z \in [0, w), A'[0, 0, z] = A[0, 0, z].$

2 $(x, y) = (1, 0).$

3 **for** $t = 0, 23$ **do**

1 $\forall z \in [0, w), A'[x, y, z] = A[x, y, (z(t+1)(t+2)/2) \bmod w];$

2 $(x, y) = (y, (2x + 3y) \bmod 5).$

4 **Return** A' .

Transformarea ρ :

$\rho(A) = A'$ unde:

1 $\forall z \in [0, w), A'[0, 0, z] = A[0, 0, z].$

2 $(x, y) = (1, 0).$

3 **for** $t = 0, 23$ **do**

1 $\forall z \in [0, w), A'[x, y, z] = A[x, y, (z(t+1)(t+2)/2) \bmod w];$

2 $(x, y) = (y, (2x + 3y) \bmod 5).$

4 **Return** $A'.$

ρ rotește biții fiecărei linii cu o mărime numită “offset”, care depinde de coordonatele (x, y) ale liniei.

Transformarea ρ :

$\rho(A) = A'$ unde:

1 $\forall z \in [0, w), A'[0, 0, z] = A[0, 0, z].$

2 $(x, y) = (1, 0).$

3 **for** $t = 0, 23$ **do**

1 $\forall z \in [0, w), A'[x, y, z] = A[x, y, (z(t+1)(t+2)/2) \bmod w];$

2 $(x, y) = (y, (2x + 3y) \bmod 5).$

4 **Return** $A'.$

ρ rotește biții fiecărei linii cu o mărime numită “**offset**”, care depinde de coordonatele (x, y) ale liniei.

Pentru fiecare bit al liniei, coordonata z este modificată adăugând offset-ul (modulo mărimea liniei).

Transformarea π :

$$\pi(A) = A' \text{ este definită}$$

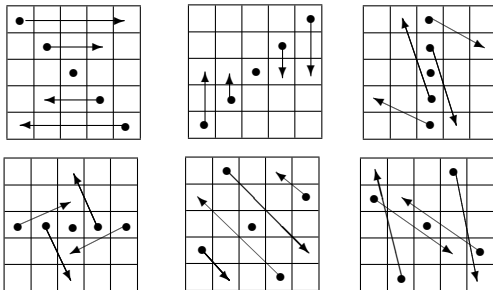
$$A'[x, y, z] = A[(x + 3y) \bmod 5, x, z], \quad \forall (x, y, z) \in [0, 5) \times [0, 5) \times [0, w).$$

Transformarea π :

$\pi(A) = A'$ este definită

$$A'[x, y, z] = A[(x + 3y) \bmod 5, x, z], \quad \forall (x, y, z) \in [0, 5) \times [0, 5) \times [0, w).$$

Transformarea π rearanjează pozițiile liniilor.



Transformarea χ :

$\chi(A) = A'$ este definită

$A'[x, y, z] =$

$A[x, y, z] \otimes ((A[(x + 1) \bmod 5, y, z] \otimes 1) \cdot A[(x + 2) \bmod 5, y, z])$

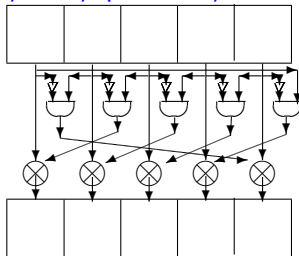
Transformarea χ :

$\chi(A) = A'$ este definită

$$A'[x, y, z] =$$

$$A[x, y, z] \otimes ((A[(x + 1) \bmod 5, y, z] \otimes 1) \cdot A[(x + 2) \bmod 5, y, z])$$

Transformarea χ face un *XOR* pentru fiecare bit cu o funcție neliniară de alți doi biți aflați pe aceeași linie.



Transformarea ι :

Este parametrizată de indexul de rundă i_r .

Transformarea ι :

Este parametrizată de indexul de rundă i_r .

Algoritmul folosește un LFSR pentru o funcție $rc(t)$

Function $rc(t)$:

1 **if** $t \bmod 255 = 0$ **then return** 1.

2 $R = 100000000$.

3 **for** $i = 1, t \bmod 255$ **do**

1 $R = 0 \parallel R$;

2 $R[0] = R[0] \otimes R[8]$;

3 $R[4] = R[4] \otimes R[8]$;

4 $R[5] = R[5] \otimes R[8]$;

5 $R[6] = R[6] \otimes R[8]$;

6 $R = \text{Trunc}_8[R]$.

4 **Return** $R[0]$.

Algoritm $\iota(A, i_r) = A'$

$$1 \quad A'[x, y, z] = A[x, y, z], \quad \forall (x, y, z) \in [0, 5) \times [0, 5) \times [0, w).$$

Algoritm $\iota(A, i_r) = A'$

- 1 $A'[x, y, z] = A[x, y, z], \quad \forall (x, y, z) \in [0, 5) \times [0, 5) \times [0, w).$
- 2 $RC = 0^w.$

Algorithm $\iota(A, i_r) = A'$

- 1 $A'[x, y, z] = A[x, y, z], \quad \forall (x, y, z) \in [0, 5) \times [0, 5) \times [0, w).$
- 2 $RC = 0^w.$
- 3 **for** $j = 0, l$ **do** $RC[2^j 1] = rc(j + 7i_r).$

Algoritm $\iota(A, i_r) = A'$

- 1 $A'[x, y, z] = A[x, y, z], \quad \forall (x, y, z) \in [0, 5) \times [0, 5) \times [0, w).$
- 2 $RC = 0^w.$
- 3 **for** $j = 0, l$ **do** $RC[2^j 1] = rc(j + 7i_r).$
- 4 $A'[0, 0, z] = A'[0, 0, z] \otimes RC[z], \quad \forall z \in [0, w).$

Algoritm $\iota(A, i_r) = A'$

- 1 $A'[x, y, z] = A[x, y, z], \quad \forall (x, y, z) \in [0, 5) \times [0, 5) \times [0, w).$
- 2 $RC = 0^w.$
- 3 **for** $j = 0, l$ **do** $RC[2^j 1] = rc(j + 7i_r).$
- 4 $A'[0, 0, z] = A'[0, 0, z] \otimes RC[z], \quad \forall z \in [0, w).$

Folosind parametrul de rundă i_r și funcția rc dată de LFSR, algoritmul determină $l + 1$ biți ale unei constante de rundă RC .

Algoritm $\iota(A, i_r) = A'$

- 1 $A'[x, y, z] = A[x, y, z], \quad \forall (x, y, z) \in [0, 5) \times [0, 5) \times [0, w).$
- 2 $RC = 0^w.$
- 3 **for** $j = 0, l$ **do** $RC[2^j 1] = rc(j + 7i_r).$
- 4 $A'[0, 0, z] = A'[0, 0, z] \otimes RC[z], \quad \forall z \in [0, w).$

Folosind parametrul de rundă i_r și funcția rc dată de LFSR, algoritmul determină $l + 1$ biți ale unei constante de rundă RC .

Această constantă modifică prin XOR-are valorile liniei centrale din stare.

Toate celelalte 24 linii nu sunt modificate de transformarea ι .

Funcția *KECCAK* – $p[b, n_r]$

Fiind date un tablou de stare A și un index de rundă i_r , funcția de rundă Rnd este compunerea celor cinci transformări de mai sus:

$$Rnd(A, i_r) = \iota(\chi(\pi(\rho(\theta(A)))), i_r)$$

Funcția *KECCAK* – $p[b, n_r]$

Fiind date un tablou de stare A și un index de rundă i_r , funcția de rundă Rnd este compunerea celor cinci transformări de mai sus:

$$Rnd(A, i_r) = \iota(\chi(\pi(\rho(\theta(A)))), i_r)$$

Permutarea *KECCAK* – $p[b, n_r]$ constă din n_r iterații ale funcției Rnd aplicată unei secvențe de b biți.

Funcția *KECCAK* – $p[b, n_r]$

Fiind date un tablou de stare A și un index de rundă i_r , funcția de rundă Rnd este compunerea celor cinci transformări de mai sus:

$$Rnd(A, i_r) = \iota(\chi(\pi(\rho(\theta(A)))), i_r)$$

Permutarea *KECCAK* – $p[b, n_r]$ constă din n_r iterații ale funcției Rnd aplicată unei secvențe de b biți.

$$\mathbf{KECCAK} - \mathbf{p}[b, n_r](S) = S'$$

- 1 Transformă S într-un tablou de stare A ;

Funcția *KECCAK* – $p[b, n_r]$

Fiind date un tablou de stare A și un index de rundă i_r , funcția de rundă Rnd este compunerea celor cinci transformări de mai sus:

$$Rnd(A, i_r) = \iota(\chi(\pi(\rho(\theta(A)))), i_r)$$

Permutarea *KECCAK* – $p[b, n_r]$ constă din n_r iterații ale funcției Rnd aplicată unei secvențe de b biți.

$$KECCAK - p[b, n_r](S) = S'$$

- 1 Transformă S într-un tablou de stare A ;
- 2 **for** $i_r = 12 + 2l - n_r, 12 + 2l - 1$ **do** $A = Rnd(A, i_r)$.

Funcția *KECCAK* – $p[b, n_r]$

Fiind date un tablou de stare A și un index de rundă i_r , funcția de rundă Rnd este compunerea celor cinci transformări de mai sus:

$$Rnd(A, i_r) = \iota(\chi(\pi(\rho(\theta(A))))), i_r)$$

Permutarea *KECCAK* – $p[b, n_r]$ constă din n_r iterații ale funcției Rnd aplicată unei secvențe de b biți.

$$KECCAK - p[b, n_r](S) = S'$$

- 1 Transformă S într-un tablou de stare A ;
- 2 **for** $i_r = 12 + 2l - n_r, 12 + 2l - 1$ **do** $A = Rnd(A, i_r)$.
- 3 Transformă A într-un șir de biți S

Funcția *KECCAK* – $p[b, n_r]$

Fiind date un tablou de stare A și un index de rundă i_r , funcția de rundă Rnd este compunerea celor cinci transformări de mai sus:

$$Rnd(A, i_r) = \iota(\chi(\pi(\rho(\theta(A)))), i_r)$$

Permutarea *KECCAK* – $p[b, n_r]$ constă din n_r iterații ale funcției *Rnd* aplicată unei secvențe de b biți.

$$KECCAK - p[b, n_r](S) = S'$$

- 1 Transformă S într-un tablou de stare A ;
- 2 **for** $i_r = 12 + 2l - n_r, 12 + 2l - 1$ **do** $A = Rnd(A, i_r)$.
- 3 Transformă A într-un șir de biți S
- 4 **Return** S .

Construcția Sponge

Este varianta folosită de SHA-3 similară construcției Merkle-Damgard pentru *MD5* și *SHA-1*.

Construcția Sponge

Este varianta folosită de SHA-3 similară construcției Merkle-Damgard pentru *MD5* și *SHA-1*.

Construcția este formată din trei componente:

- 1 O funcție de bază f pentru șiruri de lungime fixată;

Construcția Sponge

Este varianta folosită de SHA-3 similară construcției Merkle-Damgard pentru MD5 și SHA-1.

Construcția este formată din trei componente:

- 1 O funcție de bază f pentru șiruri de lungime fixată;
- 2 Un parametru r numit “*rată*”;

Construcția Sponge

Este varianta folosită de SHA-3 similară construcției Merkle-Damgard pentru *MD5* și *SHA-1*.

Construcția este formată din trei componente:

- 1 O funcție de bază f pentru șiruri de lungime fixată;
- 2 Un parametru r numit “*rată*”;
- 3 O regulă de completare numită “*pad*”.

Construcția este formată din trei componente:

- 1 O funcție de bază f pentru șiruri de lungime fixată;
- 2 Un parametru r numit “*rată*”;
- 3 O regulă de completare numită “*pad*”.

Funcția rezultată din aceste componente se numește *funcție sponge* $SPONGE[f, pad, r]$.

Construcția Sponge

Este varianta folosită de SHA-3 similară construcției Merkle-Damgard pentru *MD5* și *SHA-1*.

Construcția este formată din trei componente:

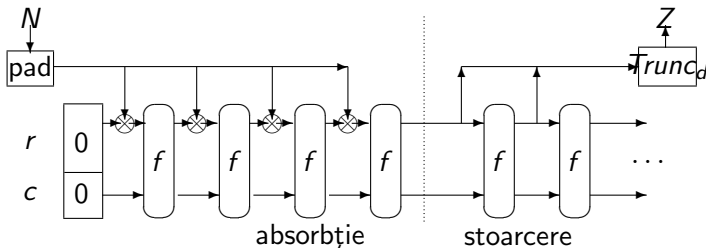
- 1 O funcție de bază f pentru șiruri de lungime fixată;
- 2 Un parametru r numit “*rată*”;
- 3 O regulă de completare numită “*pad*”.

Funcția rezultată din aceste componente se numește *funcție sponge* $SPONGE[f, pad, r]$.

Are la intrare doi parametri: un șir de biți N (de lungime arbitrară) și lungimea d a secvenței rezultate: $SPONGE[f, pad, r](N, d)$.

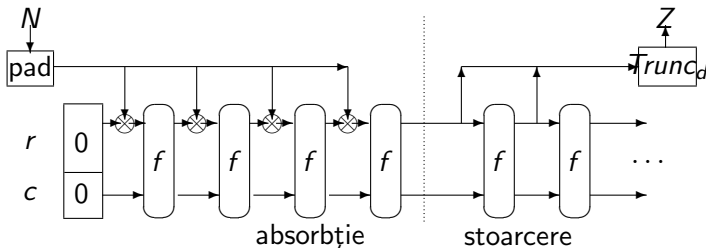
Reprezentarea funcției SPONGE

Funcția $Z = \text{SPONGE}[f, \text{pad}, r](N, d)$ este ilustrată de schema:



Reprezentarea funcției SPONGE

Funcția $Z = \text{SPONGE}[f, \text{pad}, r](N, d)$ este ilustrată de schema:



Funcția f transformă un șir de b biți în altă secvență de aceeași lungime.

Construcția Sponge

Funcția SHA-3 este bazată pe instanțieri ale construcției *SPONGE* în care funcția f este o permutare (deci inversabilă).

Construcția Sponge

Funcția SHA-3 este bazată pe instanțieri ale construcției *SPONGE* în care funcția f este o permutare (deci inversabilă).

Rata r ($r < b$) este un întreg pozitiv. “**Capacitatea**” – notată cu c este definită prin $c = b - r$.

Construcția Sponge

Funcția SHA-3 este bazată pe instanțieri ale construcției *SPONGE* în care funcția f este o permutare (deci inversabilă).

Rata r ($r < b$) este un întreg pozitiv. “**Capacitatea**” – notată cu c este definită prin $c = b - r$.

Regula de completare *pad* este o funcție definită de condiția:

$\forall x > 0, m \geq 0$, $pad(x, m)$ este un șir binar cu proprietatea $m + |pad(x, m)|$ se divide cu x .

Construcția Sponge

Funcția SHA-3 este bazată pe instanțieri ale construcției *SPONGE* în care funcția f este o permutare (deci inversabilă).

Rata r ($r < b$) este un întreg pozitiv. “**Capacitatea**” – notată cu c este definită prin $c = b - r$.

Regula de completare pad este o funcție definită de condiția:

$\forall x > 0, m \geq 0$, $pad(x, m)$ este un șir binar cu proprietatea $m + |pad(x, m)|$ se divide cu x .

În cadrul construcției *SPONGE* $x = r$ și $m = |N|$, deci șirul de intrare completat prin pad poate fi separat în secvențe de câte r biți.

Construcția Sponge

Funcția SHA-3 este bazată pe instanțieri ale construcției *SPONGE* în care funcția f este o permutare (deci inversabilă).

Rata r ($r < b$) este un întreg pozitiv. “**Capacitatea**” – notată cu c este definită prin $c = b - r$.

Regula de completare pad este o funcție definită de condiția:

$\forall x > 0, m \geq 0$, $pad(x, m)$ este un șir binar cu proprietatea $m + |pad(x, m)|$ se divide cu x .

În cadrul construcției *SPONGE* $x = r$ și $m = |N|$, deci șirul de intrare completat prin pad poate fi separat în secvențe de câte r biți.

Acest lucru se realizează cu algoritmul $SPONGE[f, pad, r](N, d)$, care primește la intrare șirul N și o valoare întreagă nenegativă d . Ieșirea este un șir Z de lungime d .

Construcția Sponge

$SPONGE[f, pad, r](N, d):$

- 1 $P = N || pad(r, |N|);$
- 2 $n = |P|/r;$
- 3 $c = b - r;$

Construcția Sponge

 $SPONGE[f, pad, r](N, d):$

- 1 $P = N || pad(r, |N|);$
- 2 $n = |P|/r;$
- 3 $c = b - r;$
- 4 Se construiește secvența (unică) P_0, P_1, \dots, P_{n-1} de șiruri de lungime r astfel ca $P = P_0 || \dots || P_{n-1};$

Construcția Sponge

 $SPONGE[f, pad, r](N, d):$

- 1 $P = N || pad(r, |N|);$
- 2 $n = |P|/r;$
- 3 $c = b - r;$
- 4 Se construiește secvența (unică) P_0, P_1, \dots, P_{n-1} de șiruri de lungime r astfel ca $P = P_0 || \dots || P_{n-1};$
- 5 $S = 0^b;$
- 6 **for** $i = 0, n - 1$ **do** $S = f(S \otimes (P_i || 0^c));$

Construcția Sponge

 $SPONGE[f, pad, r](N, d):$

- 1 $P = N || pad(r, |N|);$
- 2 $n = |P|/r;$
- 3 $c = b - r;$
- 4 Se construiește secvența (unică) P_0, P_1, \dots, P_{n-1} de șiruri de lungime r astfel ca $P = P_0 || \dots || P_{n-1};$
- 5 $S = 0^b;$
- 6 **for** $i = 0, n - 1$ **do** $S = f(S \otimes (P_i || 0^c));$
- 7 $Z = \lambda$ (șirul vid);
- 8 $Z = Z || Trunc_r(S);$
- 9 **if** $d \leq |Z|$ **then return** $Trunc_d(Z);$

Construcția Sponge

 $SPONGE[f, pad, r](N, d):$

- 1 $P = N || pad(r, |N|);$
- 2 $n = |P|/r;$
- 3 $c = b - r;$
- 4 Se construiește secvența (unică) P_0, P_1, \dots, P_{n-1} de șiruri de lungime r astfel ca $P = P_0 || \dots || P_{n-1};$
- 5 $S = 0^b;$
- 6 **for** $i = 0, n - 1$ **do** $S = f(S \otimes (P_i || 0^c));$
- 7 $Z = \lambda$ (șirul vid);
- 8 $Z = Z || Trunc_r(S);$
- 9 **if** $d \leq |Z|$ **then return** $Trunc_d(Z);$
- 10 $S = f(S);$ **goto** 8.

Discuție parametri

- Intrarea d determină numărul de biți pe care îi scoate Algoritmul *SPONGE*, dar nu afectează valorile lor.

Discuție parametri

- Intrarea d determină numărul de biți pe care îi scoate Algoritmul *SPONGE*, dar nu afectează valorile lor.
Teoretic, ieșirea poate fi privită ca o secvență infinită de biți al cărei calcul este oprit în momentul în care se obține numărul de biți solicitat.

Discuție parametri

- Intrarea d determină numărul de biți pe care îi scoate Algoritmul *SPONGE*, dar nu afectează valorile lor.
Teoretic, ieșirea poate fi privită ca o secvență infinită de biți al cărei calcul este oprit în momentul în care se obține numărul de biți solicitat.
- Funcția de completare *pad* scoate un șir $P = 10^*1$, astfel ca $m + |P|$ se divide cu x :

Algorithm $pad(x, m)$:

- 1 $j = (-m - 2) \bmod x$;
- 2 **Return** $P = 1 || 0^j || 1$.

KECCAK

KECCAK este familia de funcții SPONGE cu permutarea *KECCAK* – $p[b, 12 + 2l]$ ca funcție de bază și cu *pad* ca regulă de completare.

KECCAK

KECCAK este familia de funcții SPONGE cu permutarea *KECCAK* – $p[b, 12 + 2l]$ ca funcție de bază și cu *pad* ca regulă de completare.

Ea este parameterizată de orice alegere a valorilor r (rata) și c (capacitatea) astfel ca $r + c \in \{25, 50, 100, 200, 400, 800, 1600\}$ (valorile solicitate pentru b).

KECCAK

KECCAK este familia de funcții SPONGE cu permutarea *KECCAK* – $p[b, 12 + 2l]$ ca funcție de bază și cu *pad* ca regulă de completare.

Ea este parameterizată de orice alegere a valorilor r (rata) și c (capacitatea) astfel ca $r + c \in \{25, 50, 100, 200, 400, 800, 1600\}$ (valorile solicitate pentru b).

Când se adaugă restricția $b = 1600$, familia *KECCAK* se notează *KECCAK* $[c]$ și valoarea lui r se deduce direct din c .

KECCAK

KECCAK este familia de funcții SPONGE cu permutarea *KECCAK* – $p[b, 12 + 2l]$ ca funcție de bază și cu *pad* ca regulă de completare.

Ea este parameterizată de orice alegere a valorilor r (rata) și c (capacitatea) astfel ca $r + c \in \{25, 50, 100, 200, 400, 800, 1600\}$ (valorile solicitate pentru b).

Când se adaugă restricția $b = 1600$, familia *KECCAK* se notează *KECCAK* $[c]$ și valoarea lui r se deduce direct din c .

În particular,

$$KECCAK[c] = SPONGE[KECCAK - p[1600, 24], pad, 1600 - c].$$

KECCAK

KECCAK este familia de funcții SPONGE cu permutarea *KECCAK* – $p[b, 12 + 2l]$ ca funcție de bază și cu *pad* ca regulă de completare.

Ea este parameterizată de orice alegere a valorilor r (rata) și c (capacitatea) astfel ca $r + c \in \{25, 50, 100, 200, 400, 800, 1600\}$ (valorile solicitate pentru b).

Când se adaugă restricția $b = 1600$, familia *KECCAK* se notează *KECCAK* $[c]$ și valoarea lui r se deduce direct din c .

În particular,

$$KECCAK[c] = SPONGE[KECCAK - p[1600, 24], pad, 1600 - c].$$

Deci, fiind dat un șir de biți N și o lungime de ieșire d ,

$$KECCAK[c](N, d) = SPONGE[KECCAK - p[1600, 24], pad, 1600 - c](N, d).$$

Specificațiile funcției de dispersie SHA-3

Pentru un mesaj M se definesc patru funcții de dispersie SHA-3:

$$SHA3 - 224(M) = KECCAK[448](M||01, 224);$$

$$SHA3 - 256(M) = KECCAK[512](M||01, 256);$$

$$SHA3 - 384(M) = KECCAK[768](M||01, 384);$$

$$SHA3 - 512(M) = KECCAK[1024](M||01, 512).$$

Specificațiile funcției de dispersie SHA-3

Pentru un mesaj M se definesc patru funcții de dispersie SHA-3:

$$SHA3 - 224(M) = KECCAK[448](M||01, 224);$$

$$SHA3 - 256(M) = KECCAK[512](M||01, 256);$$

$$SHA3 - 384(M) = KECCAK[768](M||01, 384);$$

$$SHA3 - 512(M) = KECCAK[1024](M||01, 512).$$

În fiecare caz lungimea amprentei este dublată (adică $c = 2d$), iar șirul de intrare în $KECCAK[c]$ este $N = M||01$.

Specificațiile funcției de dispersie SHA-3

Pentru un mesaj M se definesc patru funcții de dispersie SHA-3:

$$SHA3 - 224(M) = KECCAK[448](M||01, 224);$$

$$SHA3 - 256(M) = KECCAK[512](M||01, 256);$$

$$SHA3 - 384(M) = KECCAK[768](M||01, 384);$$

$$SHA3 - 512(M) = KECCAK[1024](M||01, 512).$$

În fiecare caz lungimea amprentei este dublată (adică $c = 2d$), iar șirul de intrare în $KECCAK[c]$ este $N = M||01$.

Sufixul 01 separă diverse domenii de utilizare ale funcției de dispersie (actuale sau viitoare); de exemplu funcțiile *SHAKE*:

$$SHAKE128(M, d) = KECCAK[256](M||1111, d),$$

$$SHAKE256(M, d) = KECCAK[512](M||1111, d).$$

Securitate

Funcție	Mărime ieșire	Coliziune	Preimage	2nd Preimage
SHA-1	160	< 80	160	$160 - L(M)$
SHA-224	224	112	224	$\min(224, 256 - L(M))$
SHA-256	256	128	256	$256 - L(M)$
SHA-384	384	192	384	384
SHA-512	512	256	512	$512 - M $
SHA3-224	224	112	224	224
SHA3-256	256	128	256	256
SHA3-384	384	192	384	384
SHA3-512	512	256	512	512
SHAKE 128	d	$\min(d/2, 128)$	$\geq \min(d, 128)$	$\min(d, 128)$
SHAKE 256	d	$\min(d/2, 256)$	$\geq \min(d, 256)$	$\min(d, 256)$

Securitate

Funcție	Mărime ieșire	Coliziune	Preimage	2nd Preimage
SHA-1	160	< 80	160	$160 - L(M)$
SHA-224	224	112	224	$\min(224, 256 - L(M))$
SHA-256	256	128	256	$256 - L(M)$
SHA-384	384	192	384	384
SHA-512	512	256	512	$512 - M $
SHA3-224	224	112	224	224
SHA3-256	256	128	256	256
SHA3-384	384	192	384	384
SHA3-512	512	256	512	512
SHAKE 128	d	$\min(d/2, 128)$	$\geq \min(d, 128)$	$\min(d, 128)$
SHAKE 256	d	$\min(d/2, 256)$	$\geq \min(d, 256)$	$\min(d, 256)$

$L(M) = \lceil \log_2(|M|/B) \rceil$, unde B este lungimea blocului de lucru în biți ($B = 512$ pentru SHA-1, SHA-224, SHA-256 și $B = 1024$ pentru SHA-512).

The END